



Understanding Earthquake Risk in Thailand: Reflections on the 28 March 2025 Earthquake

Pennung Warnitchai

Professor of Structural Engineering
Asian Institute of Technology (AIT)

Director of Earthquake Research
Center of Thailand (EARTH)

Slip Rate (mm/year)

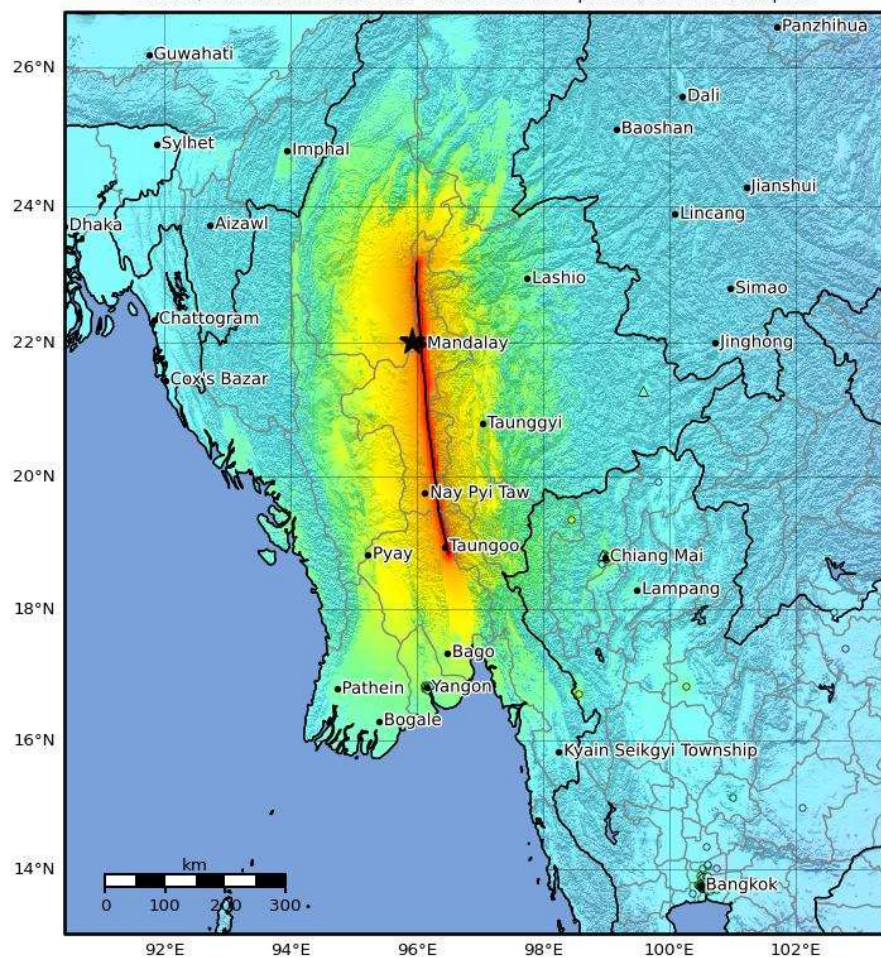
- < 1
- 1 - 5
- 5 - 10
- 10 - 50

Mw

- $M > 6.5$
- $6.0 < M < 6.4$
- $5.5 < M < 5.9$
- $5.0 < M < 5.4$
- $4.5 < M < 4.9$
- $4.0 < M < 4.4$
- $3.5 < M < 3.9$
- $3.0 < M < 3.4$
- $M < 2.9$

Map labels: Mandalay, Naypyidaw, Yangon, Chiang Mai, Vientiane, Hanoi, Bangkok, Phnom Penh, Ho Chi Min City.

Scale: 100 0 100 200 300 400 km



M 7.7 - 2025 Mandalay, Burma (Myanmar) Earthquake

2025-03-28 06:20:54 (UTC)

22.013°N 95.922°E

10.0 km depth

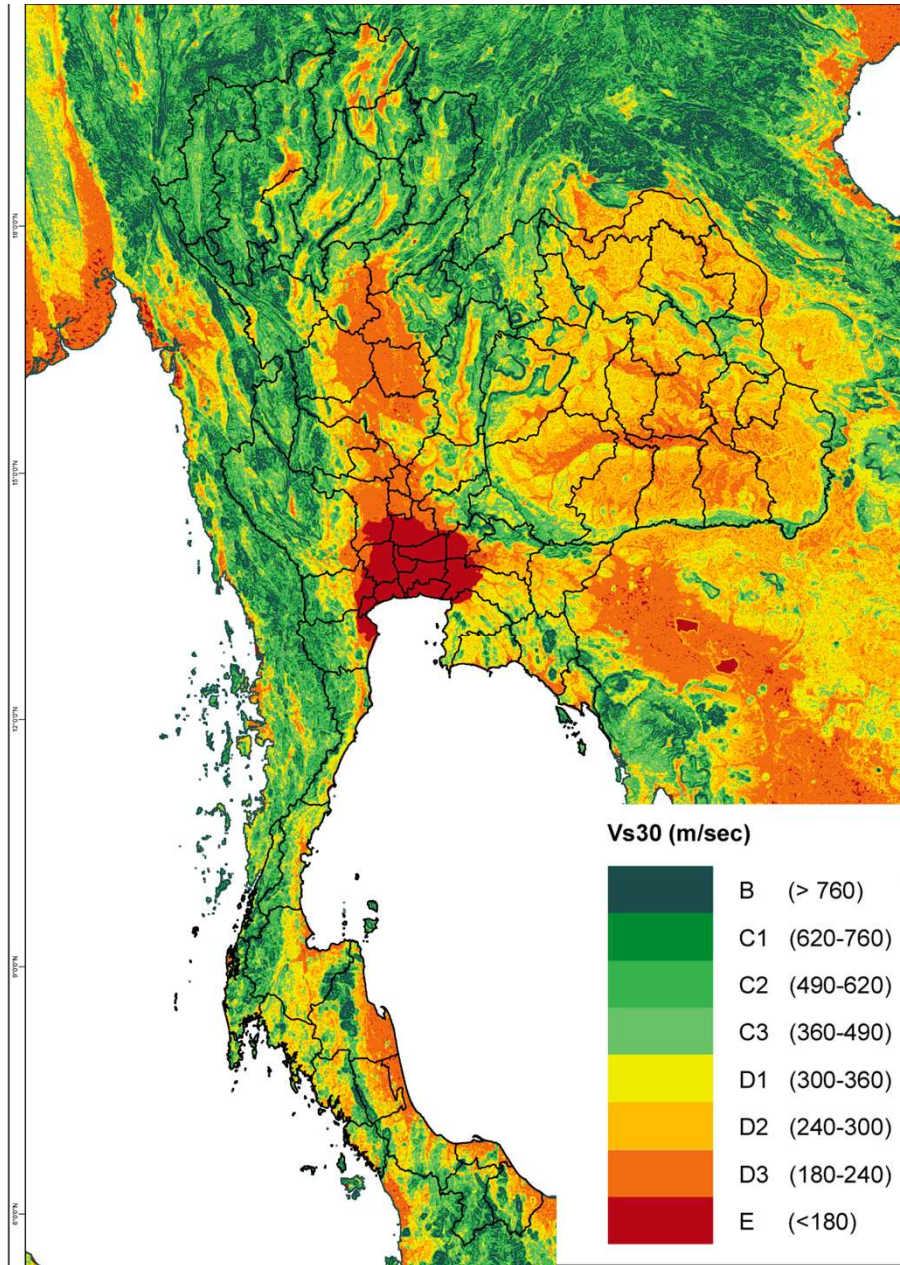
SHAKING	Not felt	Weak	Light	Moderate	Strong	Very strong	Severe	Violent	Extreme
DAMAGE	None	None	None	Very light	Light	Moderate	Moderate/heavy	Heavy	Very heavy
PGA(%g)	<0.0464	0.297	2.76	6.2	11.5	21.5	40.1	74.7	>139
PGV(cm/s)	<0.0215	0.135	1.41	4.65	9.64	20	41.4	85.8	>178
INTENSITY	I	II-III	IV	V	VI	VII	VIII	IX	X+

Scale based on Worden et al. (2012)

Version 8: Processed 2025-03-28T18:12:21Z

△ Seismic Instrument ○ Reported Intensity

★ Epicenter □ Rupture



Map showing Soil (Site) Conditions in Thailand
(derived from digital elevation data—SRTM30 and boreholes data)

Bangkok and neighboring provinces are located inside a large soil basin.

Rock (No Amplification)

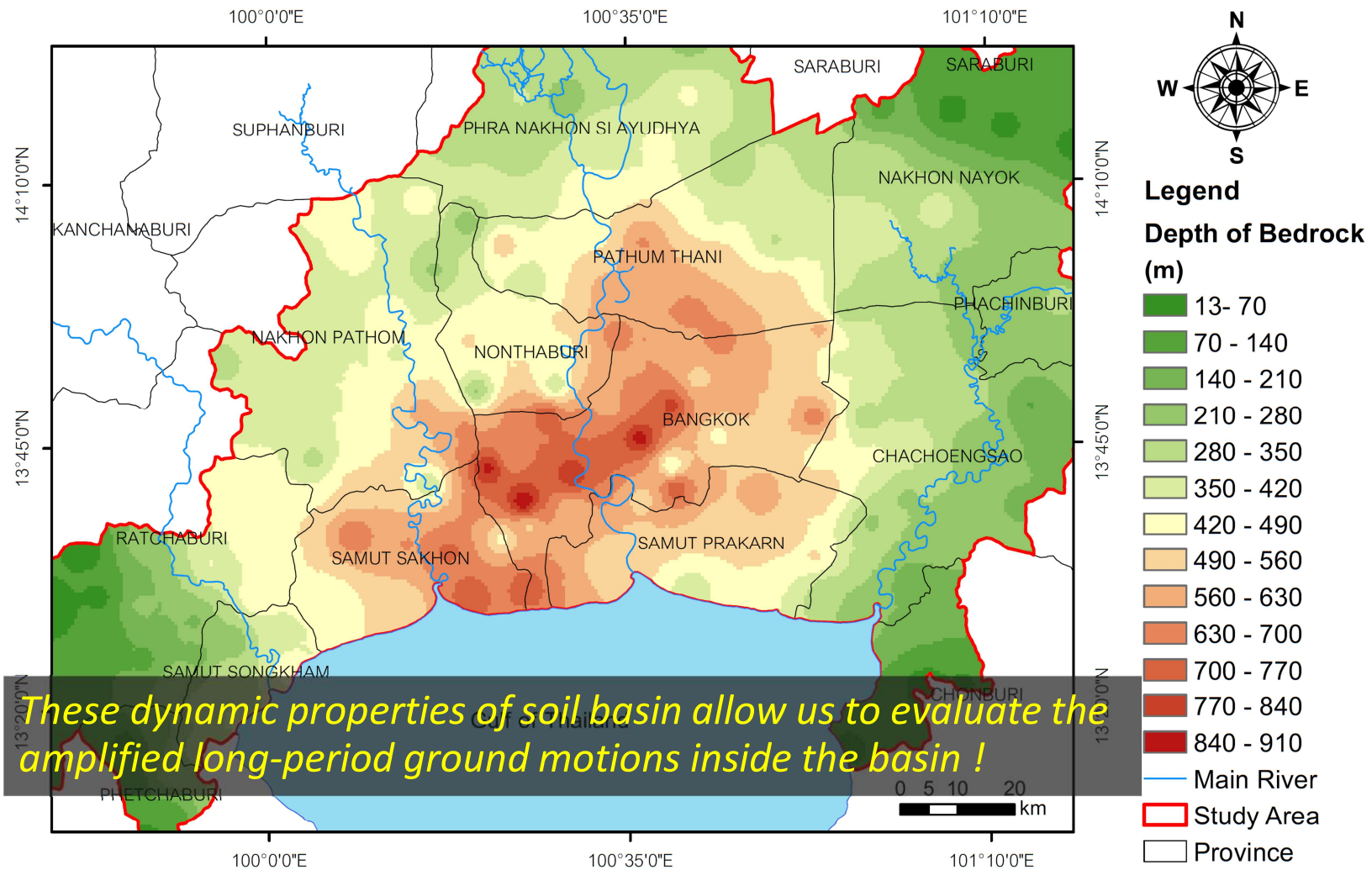
Very Stiff Soil

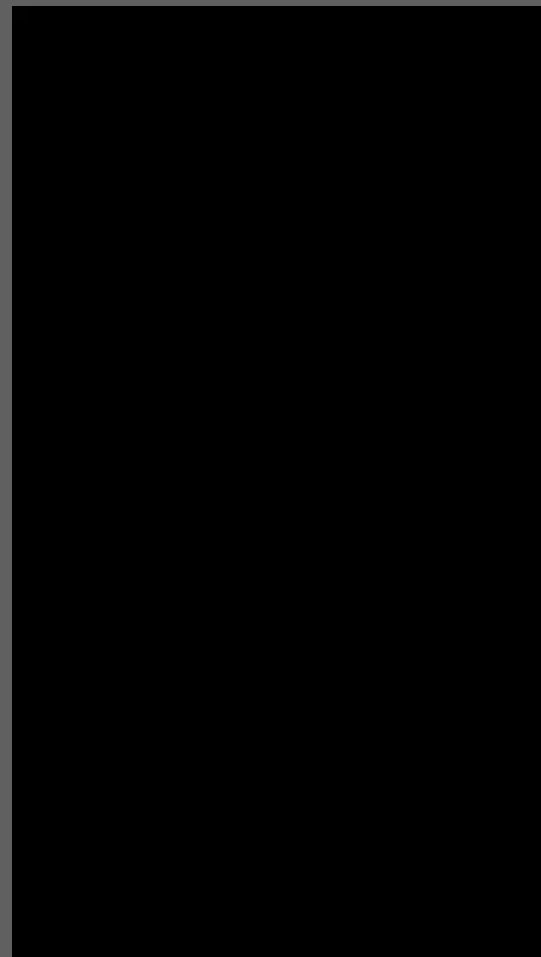
Stiff Soil (Moderate Amplification)

Moderately Soft Soil

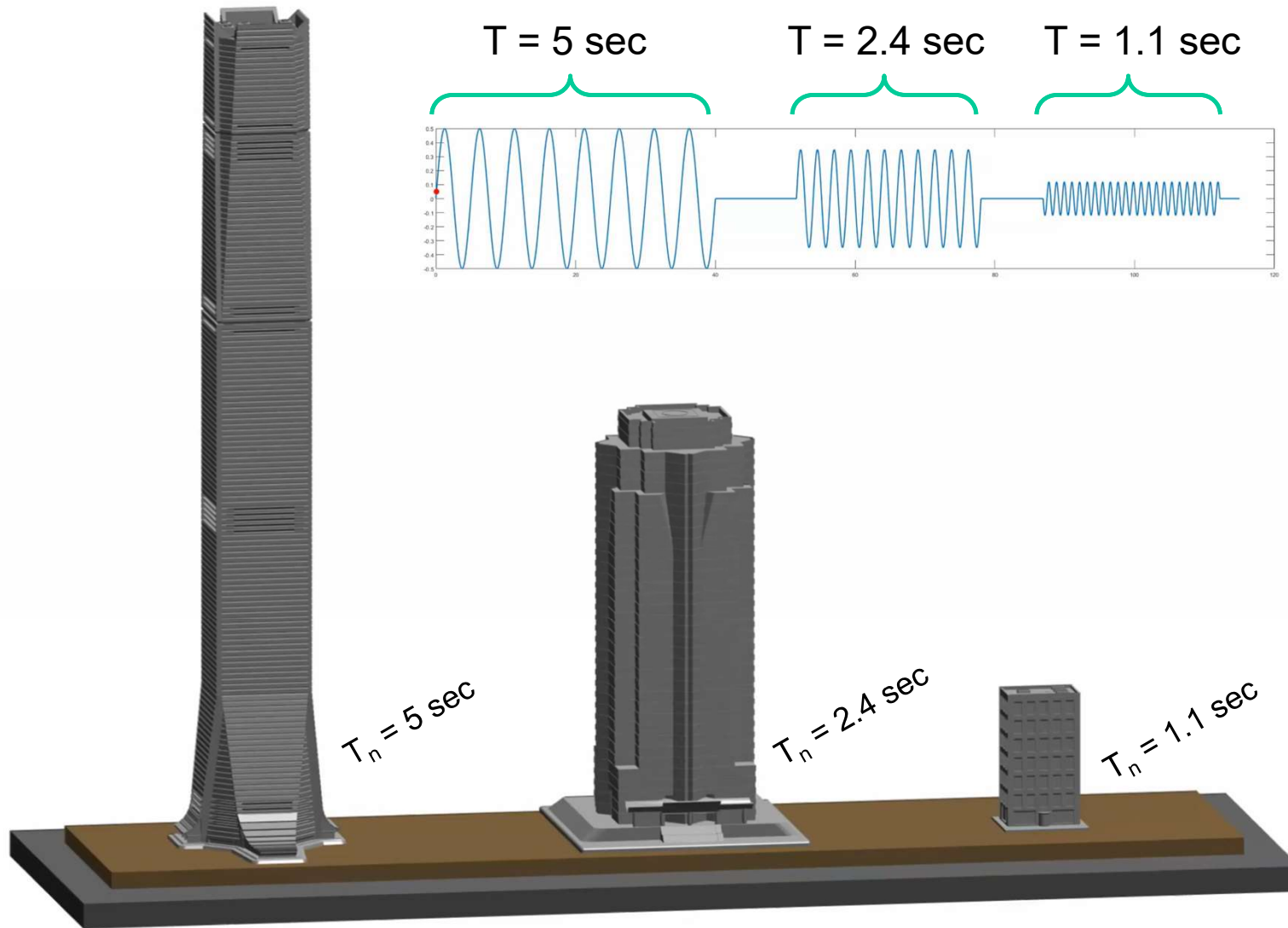
Very Soft Soil (High Amplification)

Depth to Basement Rock in Bangkok Basin





Resonance Effect



An aerial photograph of Bangkok, Thailand, showing a dense urban landscape with numerous high-rise buildings and skyscrapers. The city is situated along a river, with a mix of modern architecture and older structures. The sky is clear and blue.

Bangkok and the surrounding provinces are at risk of disasters from distant large earthquakes

The city lies on a large and deep soil basin, which can strongly amplify long-period ground motions. A large number of high-rise buildings with long natural periods will be strongly shaken by the resonance with these amplified ground motions

Earthquake scenarios that are dangerous for tall buildings in Bangkok include:

- *Earthquake of magnitude 7-7.5 in Kanchanaburi province*
- *Earthquake of magnitude 8 along the Sagaing Fault in Myanmar*
- *Earthquake of magnitude 8.5-9 at the Arakan subduction zone*

99 10 31

With the 2007 amendment to the Earthquake related ministerial regulations, the control area for earthquake-resistant design was extended to Bangkok and the surrounding provinces.

กฏกระทรวง

กำหนดการรับน้ำหนัก ความต้านทาน ความคงทนของอาคาร
และพื้นดินที่รองรับอาคารในการต้านทานแรงสั่นสะเทือนของแผ่นดินไหว

W. J. ৬৫৫০

อาศัยอำนาจตามความในมาตรา ๕ (๓) แห่งพระราชบัญญัติควบคุมอาคาร พ.ศ. ๒๕๒๒ และมาตรา ๘ (๓) แห่งพระราชบัญญัติควบคุมอาคาร พ.ศ. ๒๕๒๒ ซึ่งแก้ไขเพิ่มเติมโดยพระราชบัญญัติควบคุมอาคาร (ฉบับที่ ๓) พ.ศ. ๒๕๔๓ อันเป็นกฎหมายที่มีบทบัญญัติบางประการแก้ไขเพิ่มเติมไว้แล้วโดยพระราชบัญญัติฉบับที่ ๒๖๖ พ.ศ. ๒๕๕๑ จึงมีมติให้แก้ไขเพิ่มเติมข้อบัญญัติกรุงเทพมหานคร เรื่อง ควบคุมอาคาร พ.ศ. ๒๕๕๑ ดังต่อไปนี้

“บริเวณที่ ๑” หมายความว่า พื้นที่หรือบริเวณที่เป็นดินอ่อนมากที่อาจได้รับผลกระทบจากแผ่นดินไหวระยะไกล ได้แก่ กรุงเทพมหานคร จังหวัดนนทบุรี จังหวัดปทุมธานี จังหวัดสมุทรปราการ และจังหวัดสมุทรสาคร

“บริเวณเฝ้าระวัง” หมายความว่า พื้นที่หรือบริเวณที่อาจได้รับผลกระทบจากแผ่นดินไหว ได้แก่ จังหวัดกระบี่ จังหวัดชุมพร จังหวัดพังงา จังหวัดภูเก็ต จังหวัดระนอง จังหวัดสงขลา และ จังหวัดสุราษฎร์ธานี

“บริเวณที่ ๑” หมายความว่า พื้นที่หรือบริเวณที่เป็นดินอ่อนมากที่อาจได้รับผลกระทบจากแผ่นดินไหวระยะไกล ได้แก่ กรุงเทพมหานคร จังหวัดนนทบุรี จังหวัดปทุมธานี จังหวัดสมุทรปราการ และจังหวัดสมุทรสาคร

“บริเวณที่ ๒๑” หมายถึงพื้นที่หรือบริเวณที่อยู่ใกล้รถยนต์ที่อาจได้รับผลกระทบจากมลพิษได้แก่ จังหวัดฉะเชิงเทรา จังหวัดชลบุรี จังหวัดสมุทรสาคร จังหวัดนนทบุรี จังหวัดปทุมธานี จังหวัดพระนครศรีอยุธยา จังหวัดอ่างทอง จังหวัดลพบุรี และจังหวัดสิงห์บุรี

Sign was extended to Bangkok

(ก) อาคารที่จำเป็นต่อความเป็นอยู่ของสาธารณชน เช่น สถานพยาบาลที่รับผู้ป่วยไว้ค้างคืน สถานดับเพลิง อาคารศูนย์บรรเทาสาธารณภัย อาคารศูนย์อภัยสาร ท้าอาภาทโยน โรงไฟฟ้า โรงผลิตและเก็บน้ำประปา

(ข) อาคารเก็บวัดอุณทราย เช่น วัดอุระเบิด วัดอุไวไฟ วัดอุมิพิชัย วัดอุกัมมันตรังสี หรือวัดที่ระเบิดได้

(ค) อาคารสาธารณะที่มีผู้ใช้อาคารได้ตั้งแต่สามร้อยคนขึ้นไป ได้แก่ โรงมหรสพ หอประชุม หอศิลป์ พิพิธภัณฑ์สถาน หอสมุด ศาสนสถาน สนามกีฬา อัฒจันทร์ ตลาด ห้างสรรพสินค้า ศูนย์การค้า สถานีรถ และโรงแรม

(ง) สถานศึกษาที่รับนักเรียนหรือนักศึกษาได้ตั้งแต่สองร้อยห้าสิบคนขึ้นไป

(จ) สถานรับเลี้ยงเด็กอ่อนที่รับเด็กอ่อนได้ตั้งแต่ห้าสิบคนขึ้นไป

(၁) ဓာတုဗေဒပညာရပ်၏ အကျိုးအမြတ်များကို ရှင်းလင်းဖော်ပြပါ။

คนที่เป็นคนอ่อนมากที่อาจได้รับผลกระทบ

จังหวัดนนทบุรี จังหวัดปทุมธานี จังหวัด

ศาลที่รับผิดชอบไว้

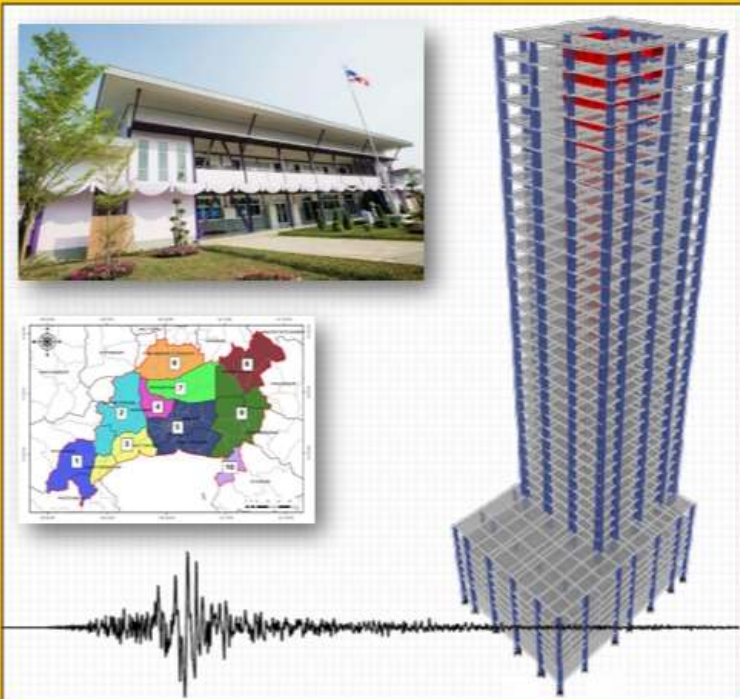
ศงศคน สถาณตบเพลง อาศารคูนยบวรเกาสาธรมนย อาศารคูนยสสาร ทายาศายาน โรงไฟฟ้า
 โรงผลิตและเก็บน้ำประปา

(ข) อาคารเก็บวัดอุณทราย เช่น วัดอุระเบิด วัดอุไวไฟ วัดอุมีพิน วัดอุกัมมันตรังสี หรือวัดอุระเบิดได้

(ค) อาคารสาธารณะ ได้แก่ โรงมหรสพ หอประชุม หอศิลป์ พิพิธภัณฑ์สถาน
หอสมุด ศาสนสถาน สนามกีฬา อัฒจันทร์ ตลาด ห้างสรรพสินค้า ศูนย์การค้า สถานีรถ โรงแรม
สถานบริการ และอาคารจอดรถ

มยพ.1301/1302-61

มาตรฐานการออกแบบอาคารต้านทาน การสั่นสะเทือนของแผ่นดินไหว



กรมโยธาธิการและผังเมือง
กระทรวงมหาดไทย
พ.ศ. 2561

National Standard DPT 1301/1302-61: Seismic Resistant Design of Buildings and Structures

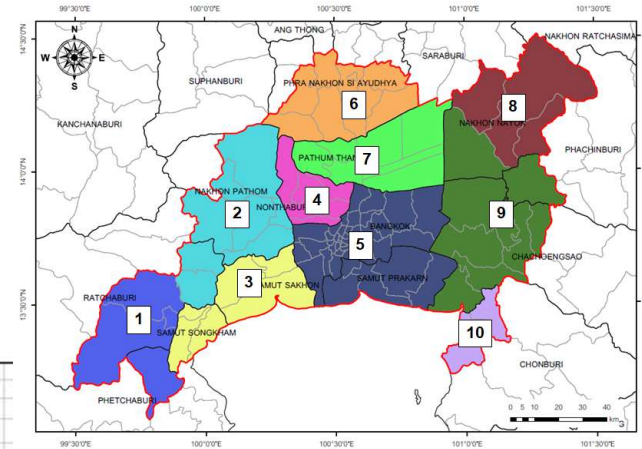
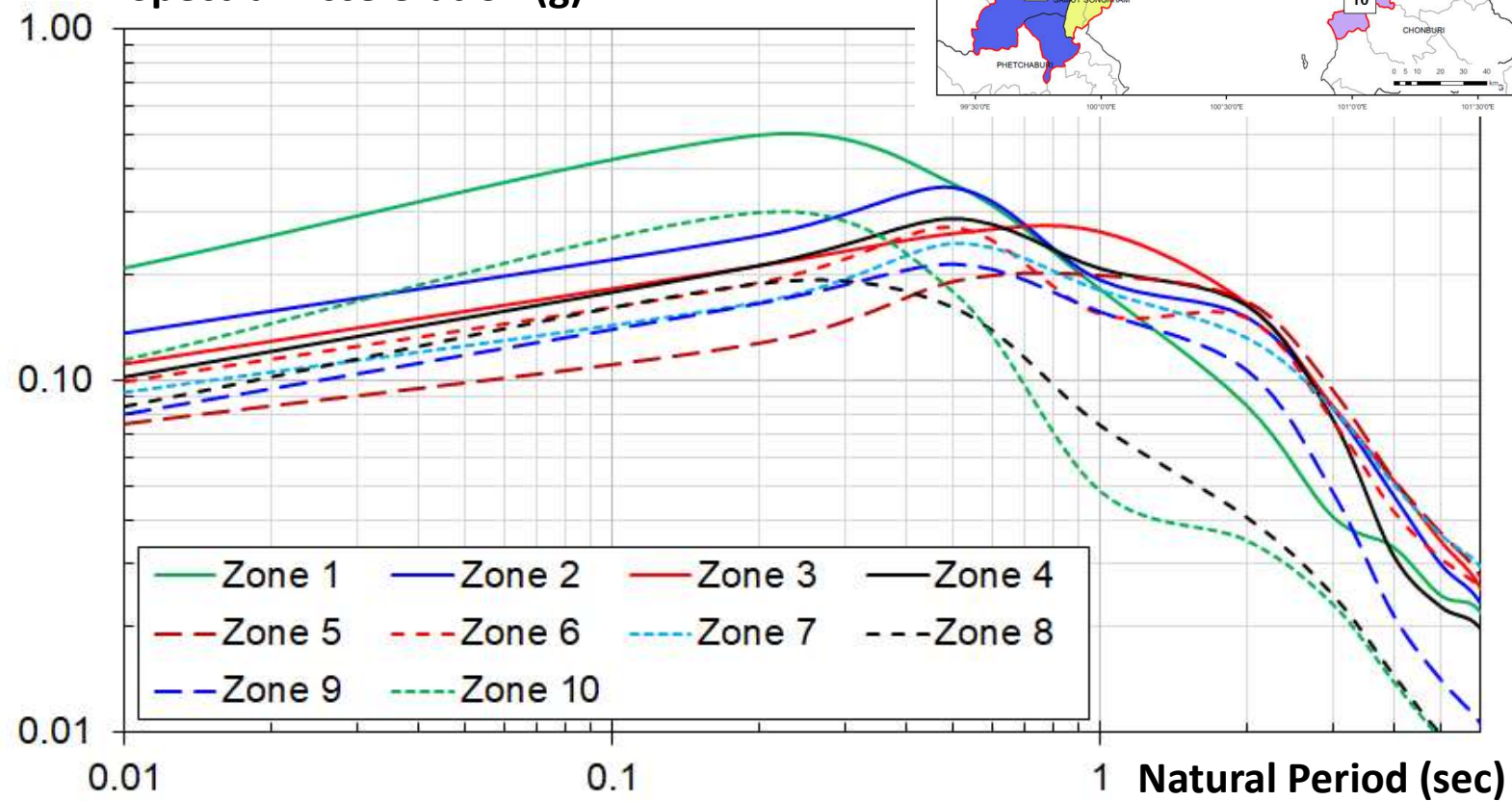
*Issued by Department of Public
Works and Town & Country Planning,
Ministry of Interior (2019)*

*The new design spectra for Bangkok and
the surrounding provinces have already
been included in DPT1301/1302-61.*

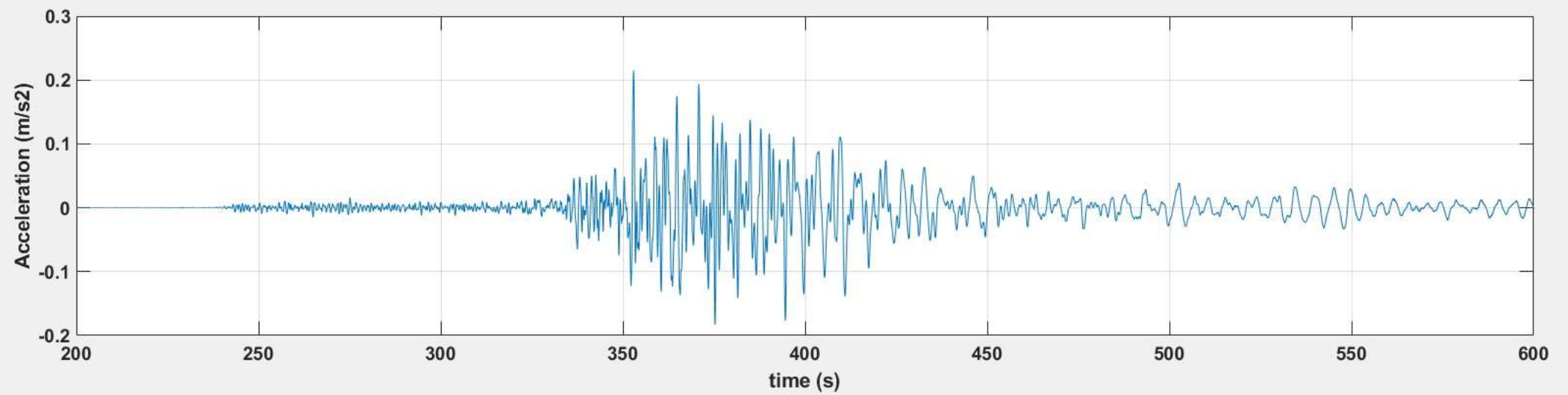
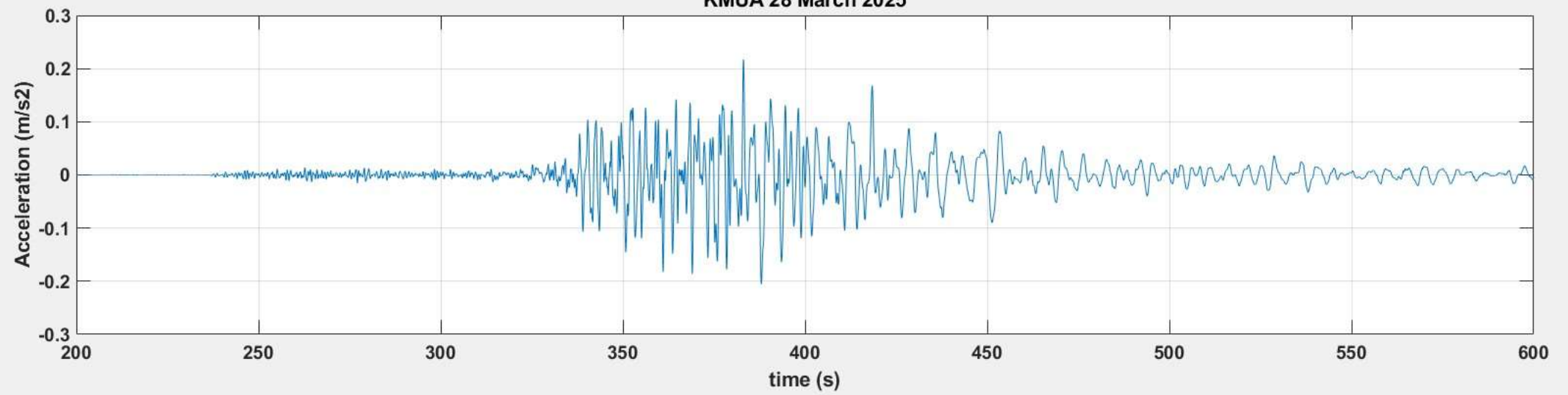
New Design Spectra for Bangkok and surrounding provinces

Earthquake induced force in the Building

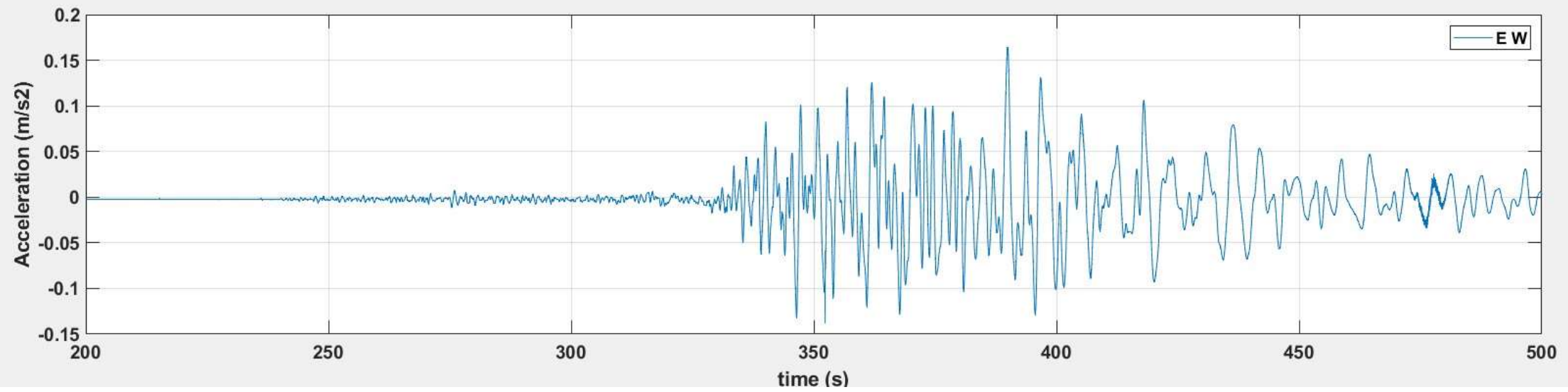
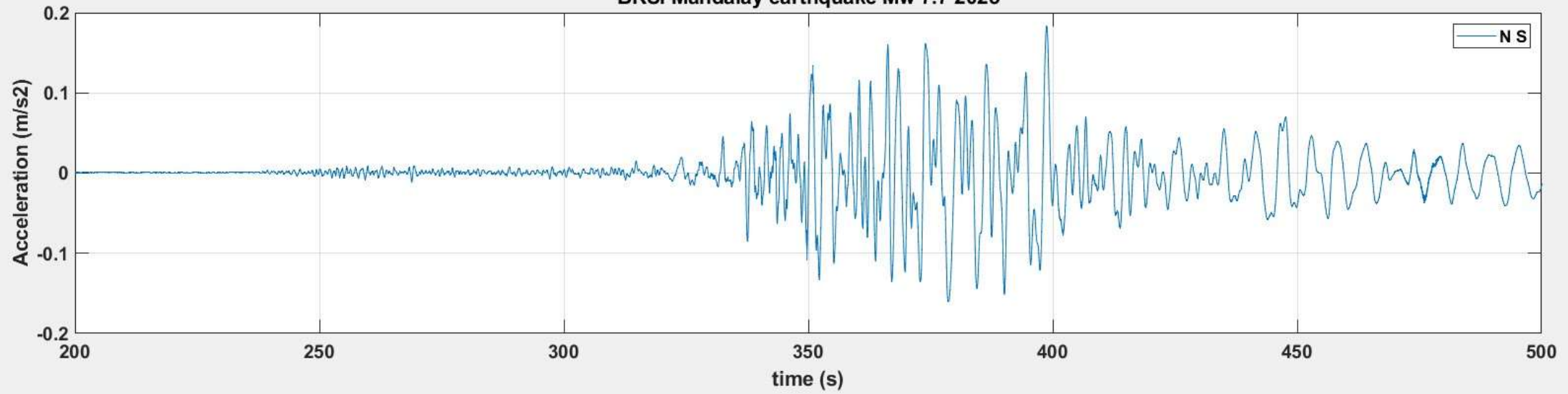
Spectral Acceleration (g)



KMUA 28 March 2025

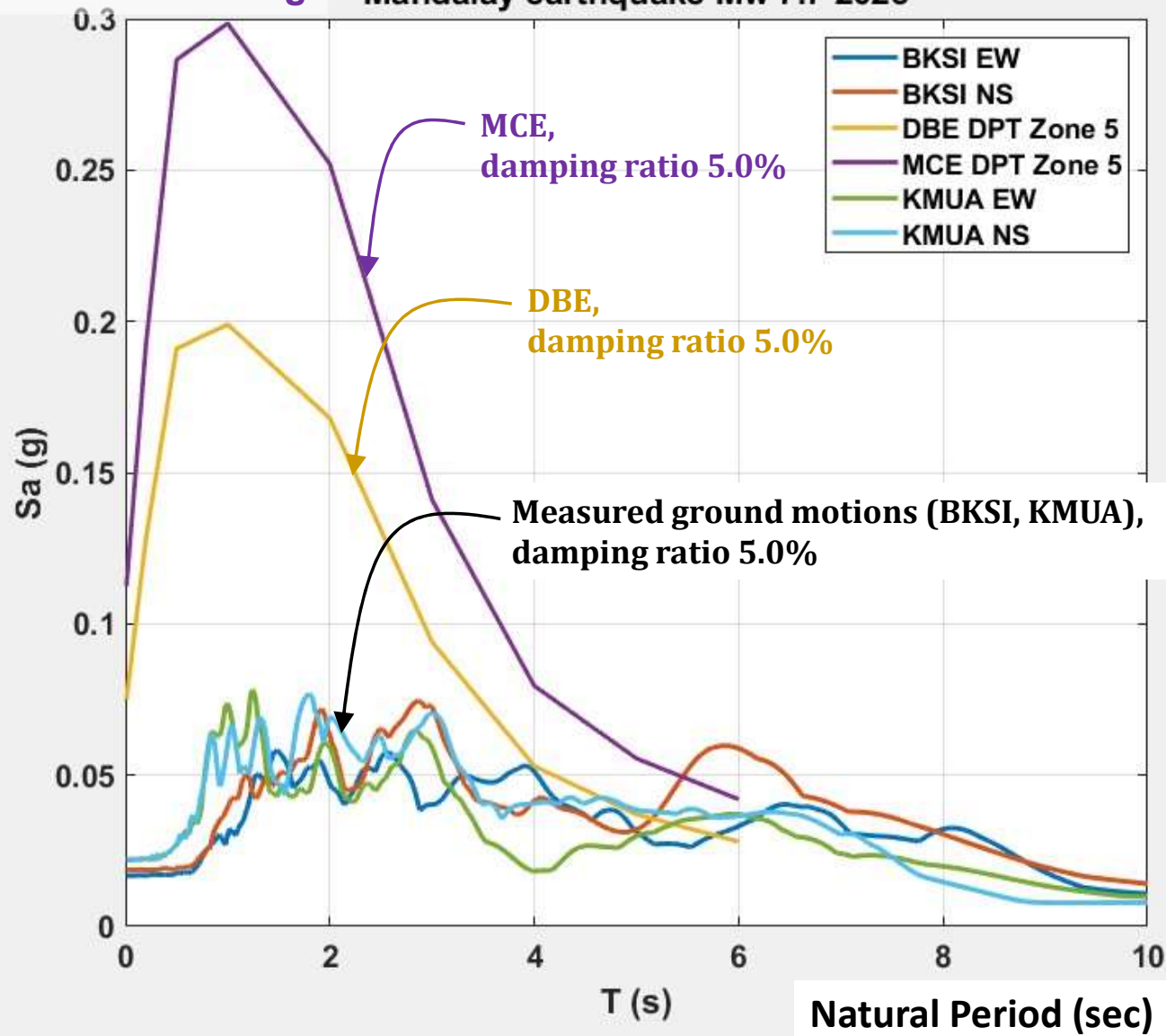


BKSI Mandalay earthquake Mw 7.7 2025



EQ induced force in the Building

Mandalay earthquake Mw 7.7 2025



Summary of Damages

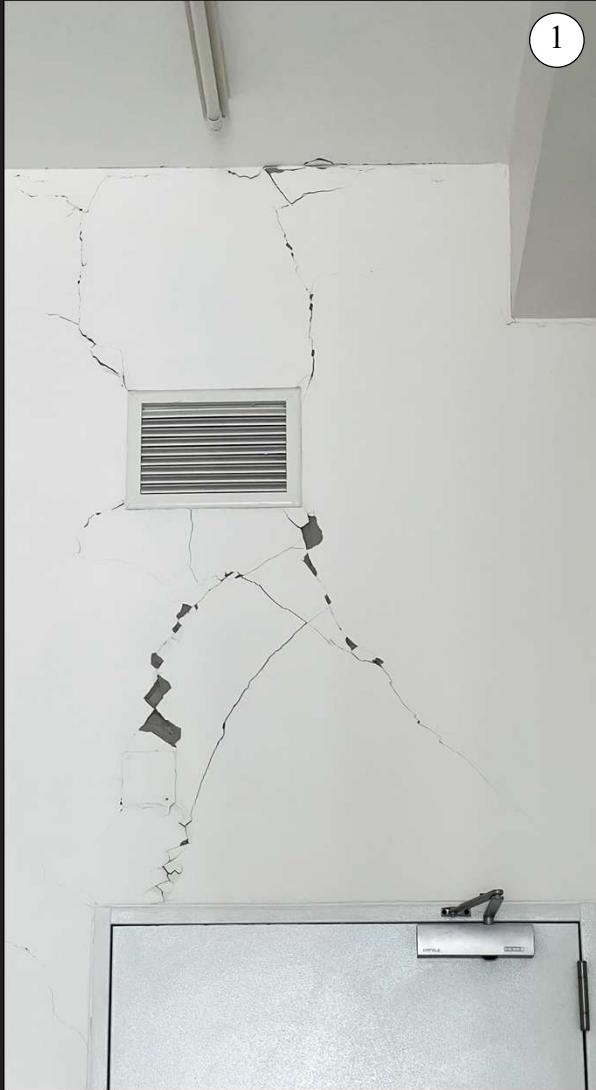
Total Collapse – 1 Bldg (SAO bldg. during construction)

Structural damages – Approx. more than 10 Bldgs

Non-structural damages – Approx. Several 100 Bldgs

All buildings in Bangkok, except collapsed SAO bldg, are safe from the earthquake with varying of damages but no reported injuries or death, except the collapsed SAO bldg with around 100 labors death or missing.

Slight to Moderate Damage to Non-Structural Masonry Walls



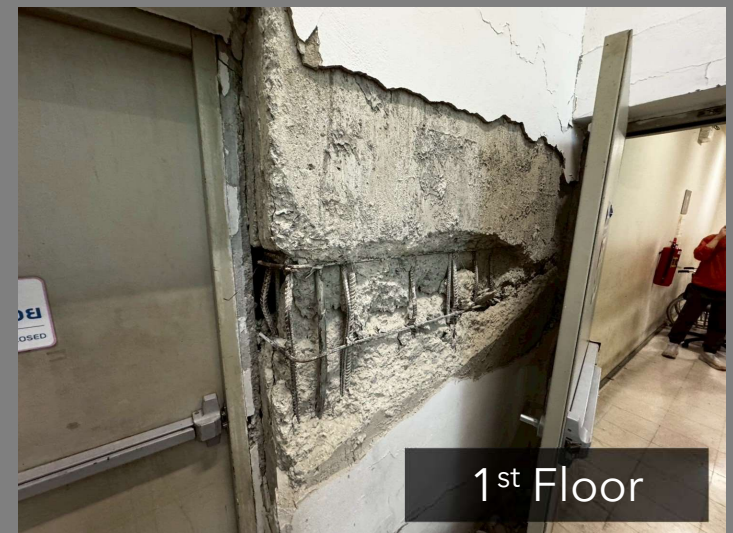
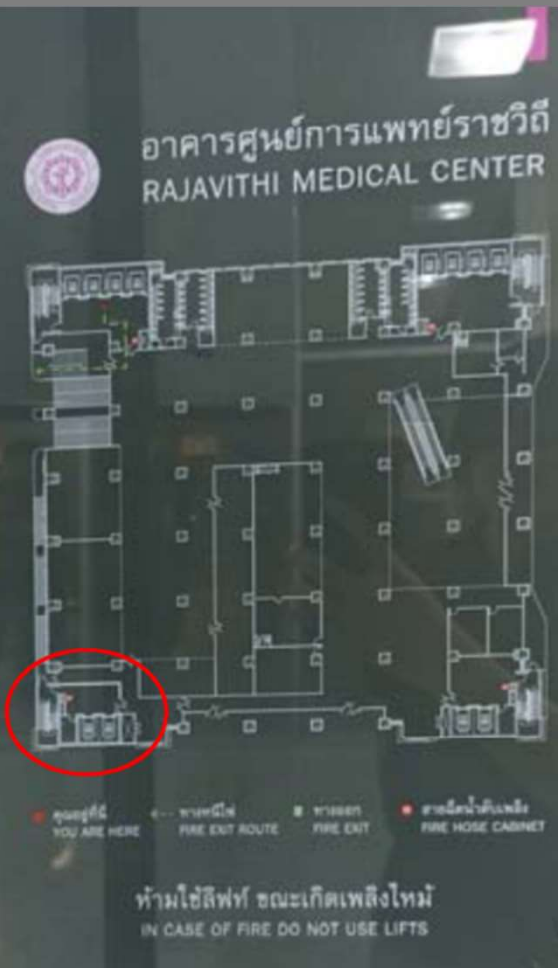
Severe Damage to Non-Structural Masonry Walls–ผนังอิฐก่อราวทะเลสองฝั่ง



Significant Structural Damage (25-story, Rajavithi Hospital)

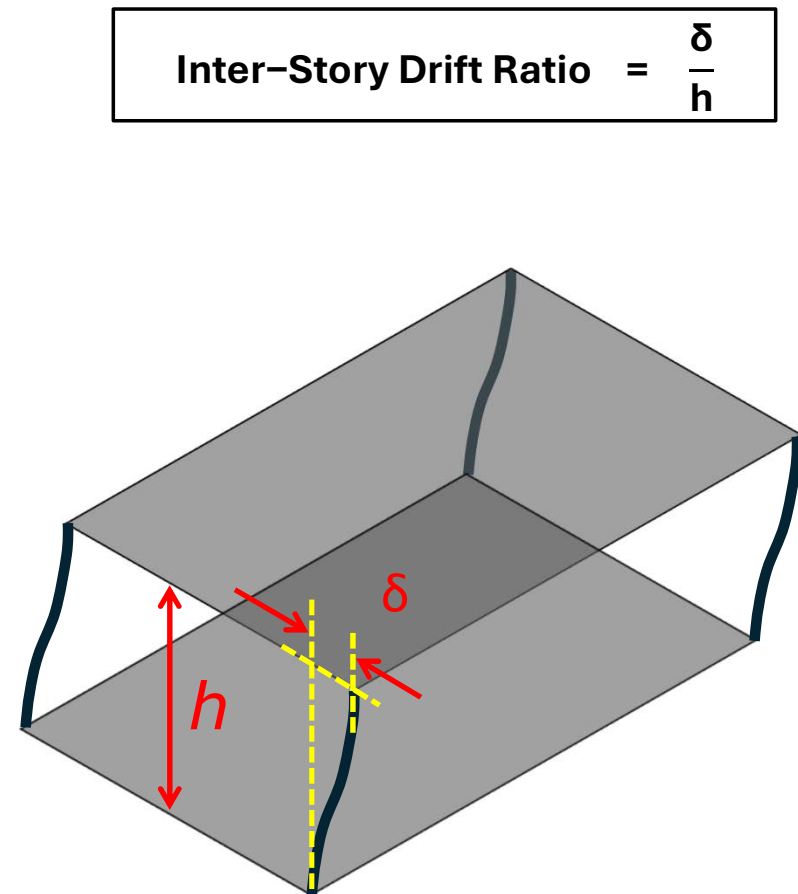
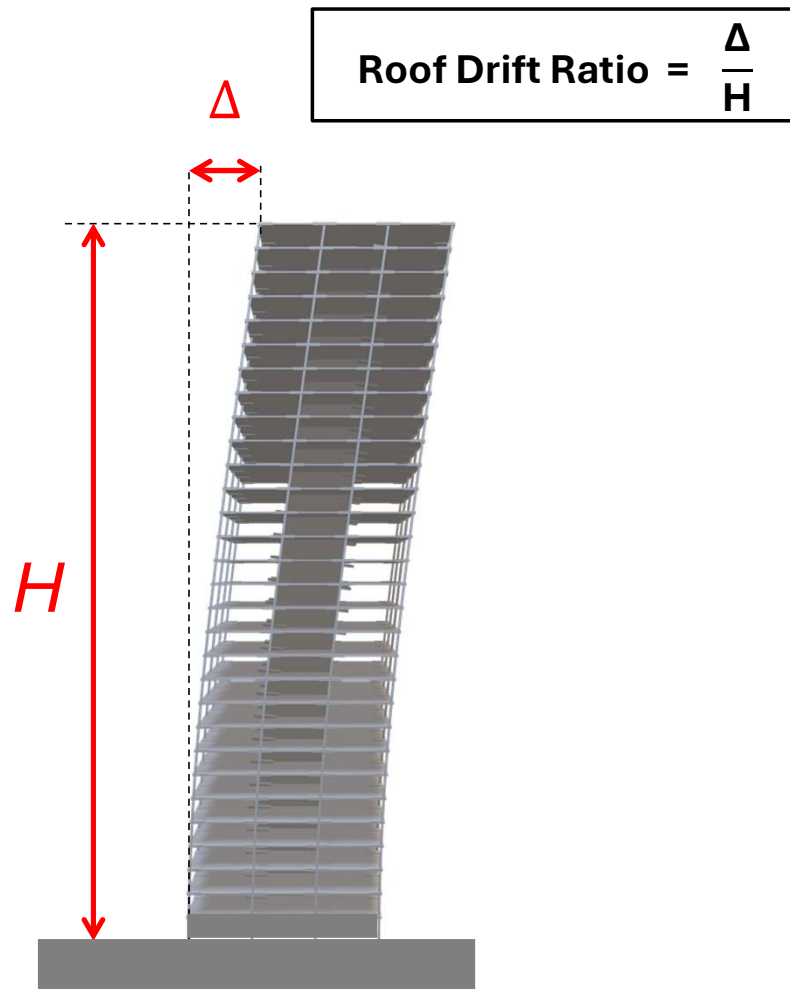


Significant Structural Damage (25-story, Rajavithi Hospital)



Significant Structural Damage (Building in Bangkok)

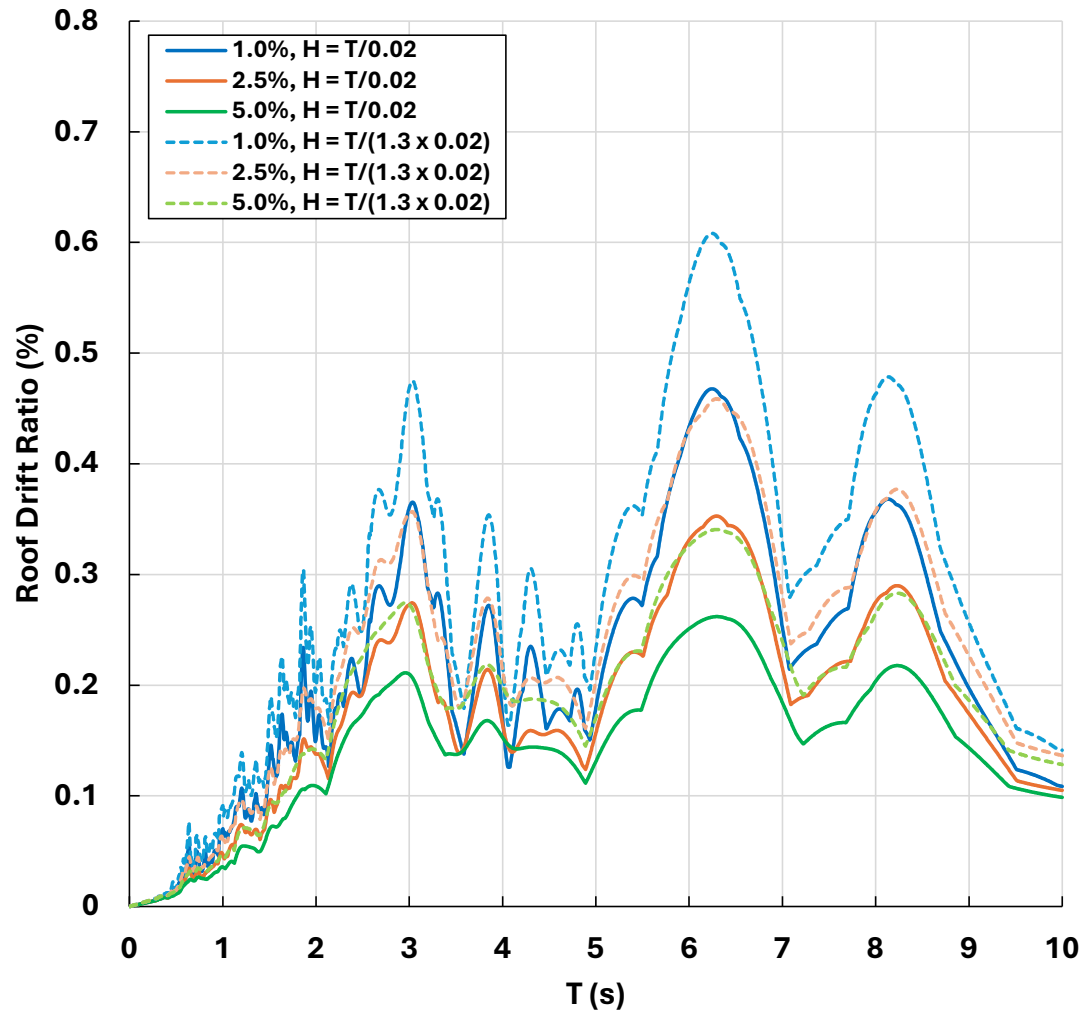




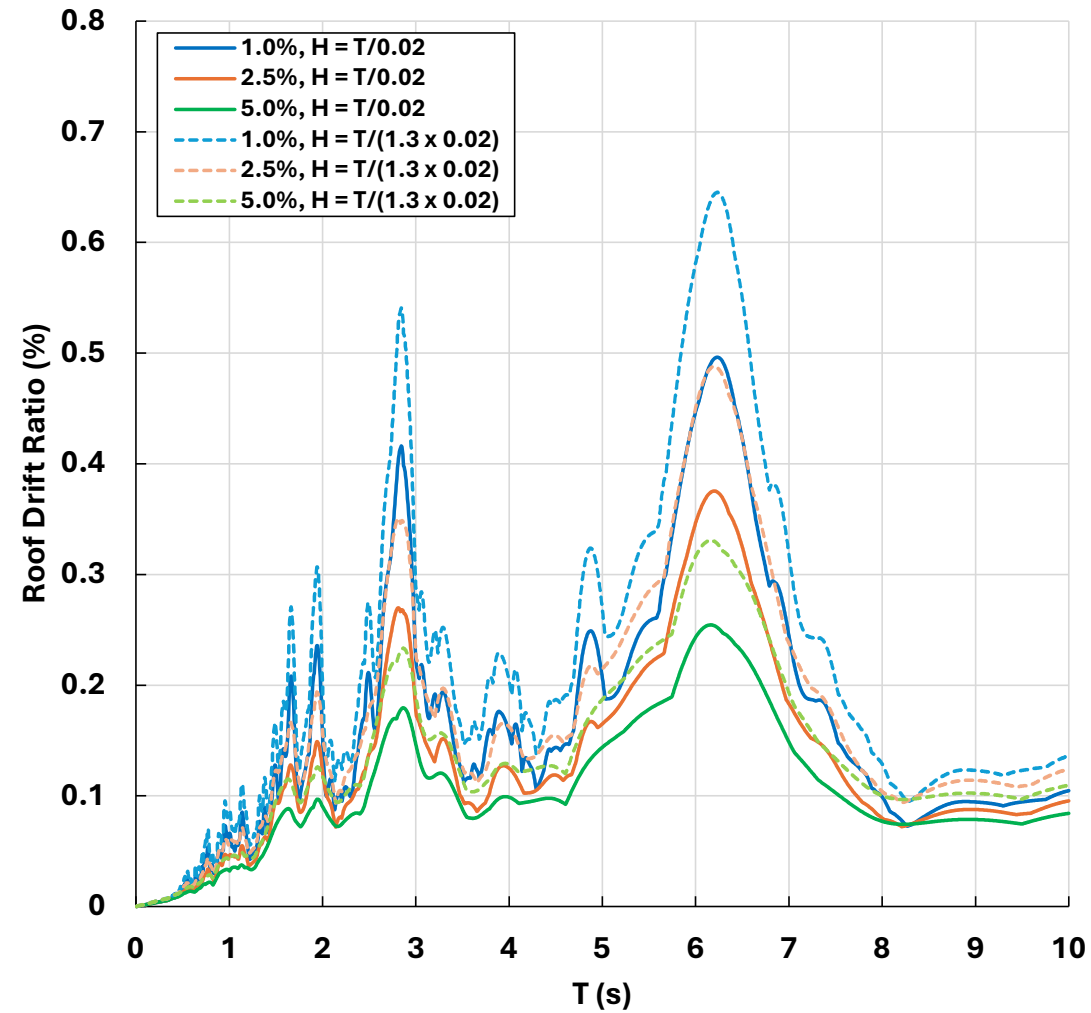
Roof Drift Ratio

Station: Department of Public Works and Town & Country Planning
(PWSA)

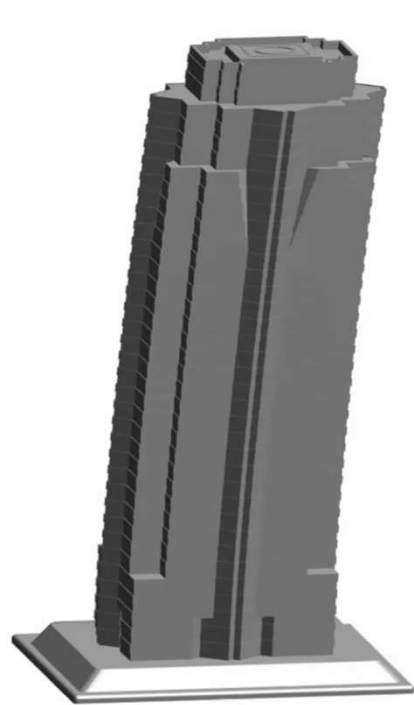
PWSA - NE



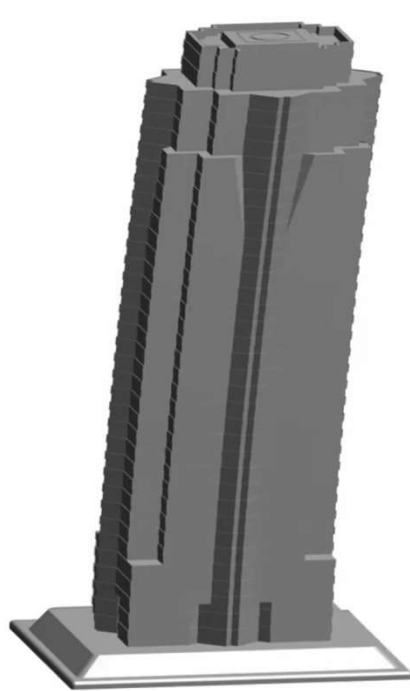
PWSA - NN



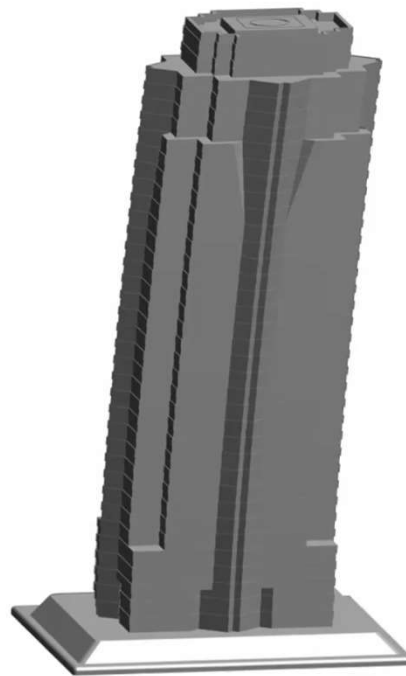
Damped Free Vibration



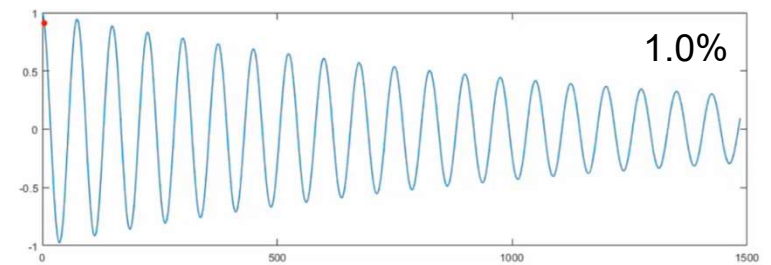
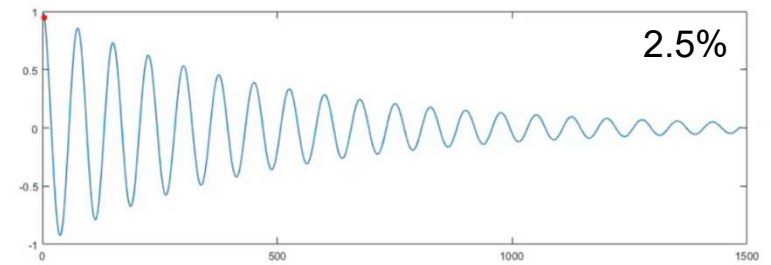
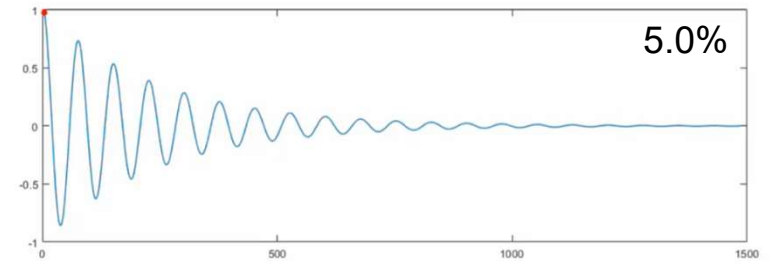
5.0%



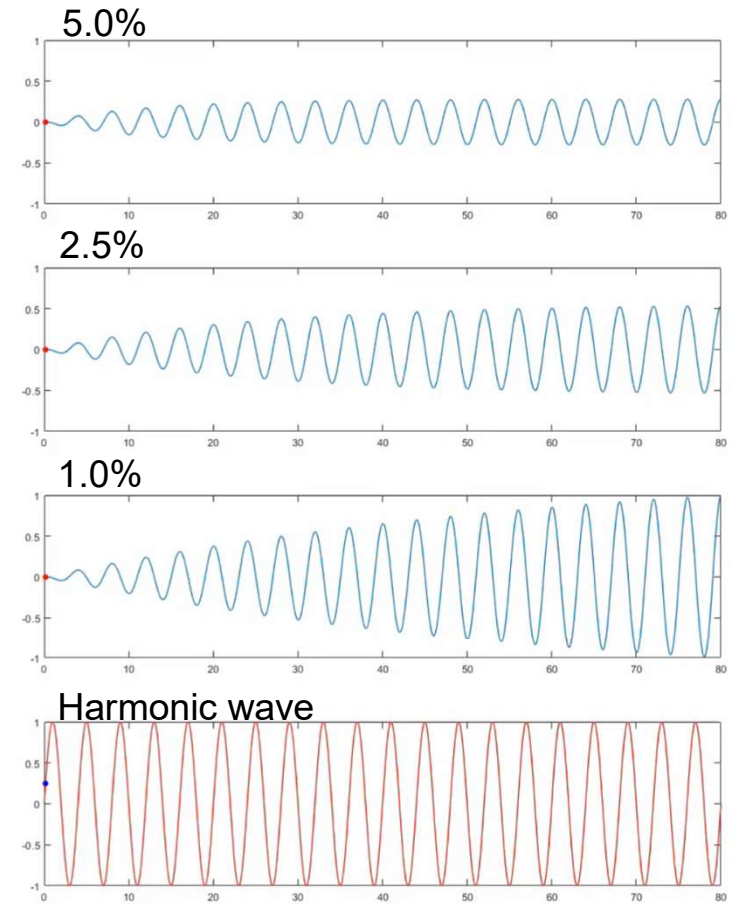
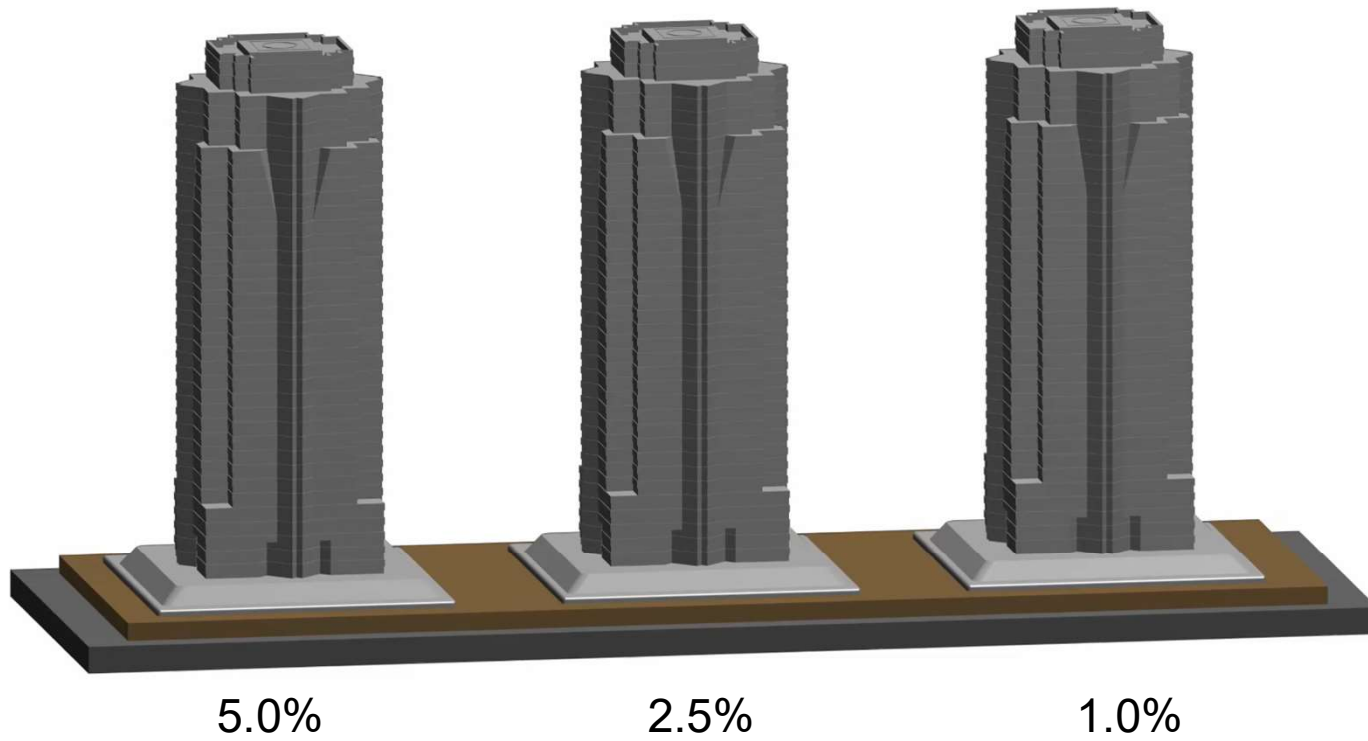
2.5%



1.0%



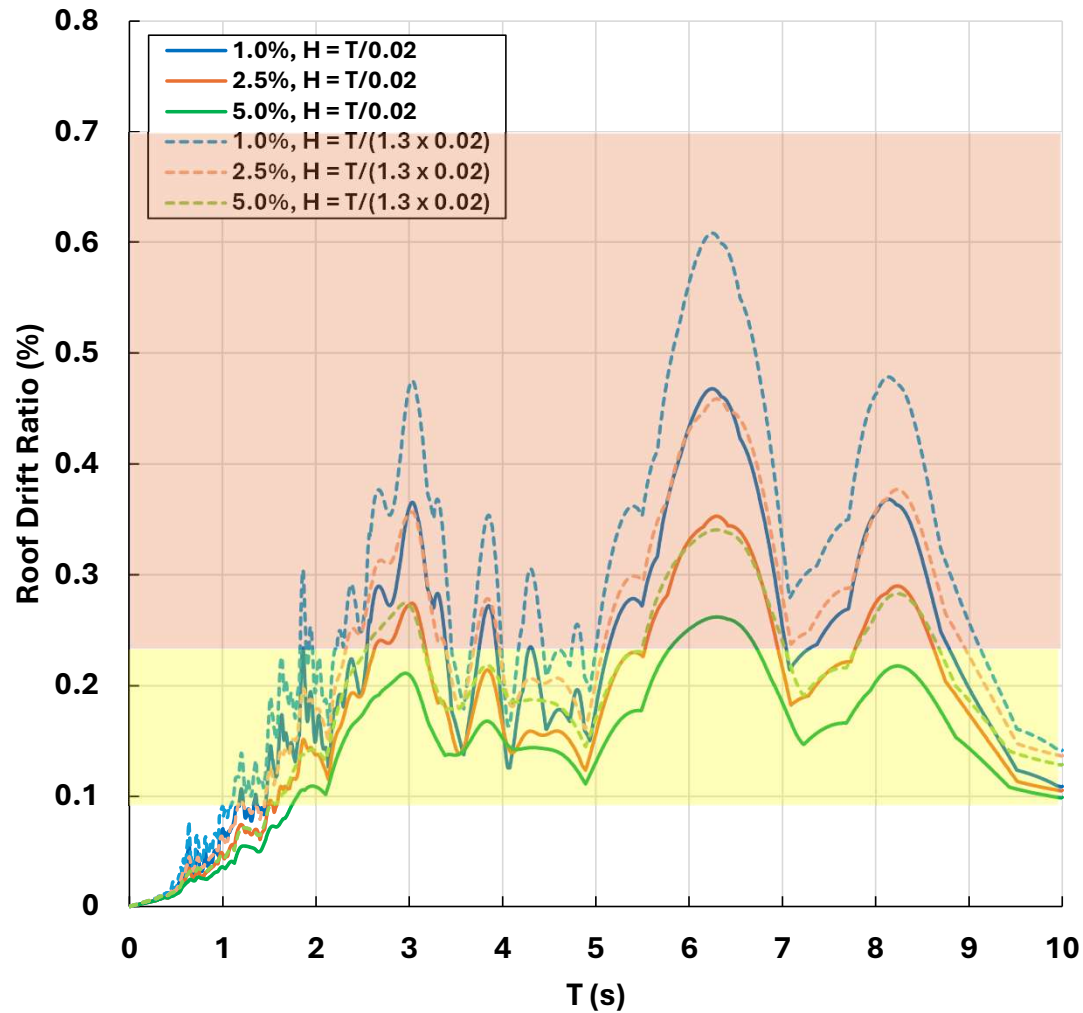
Harmonic Shaking



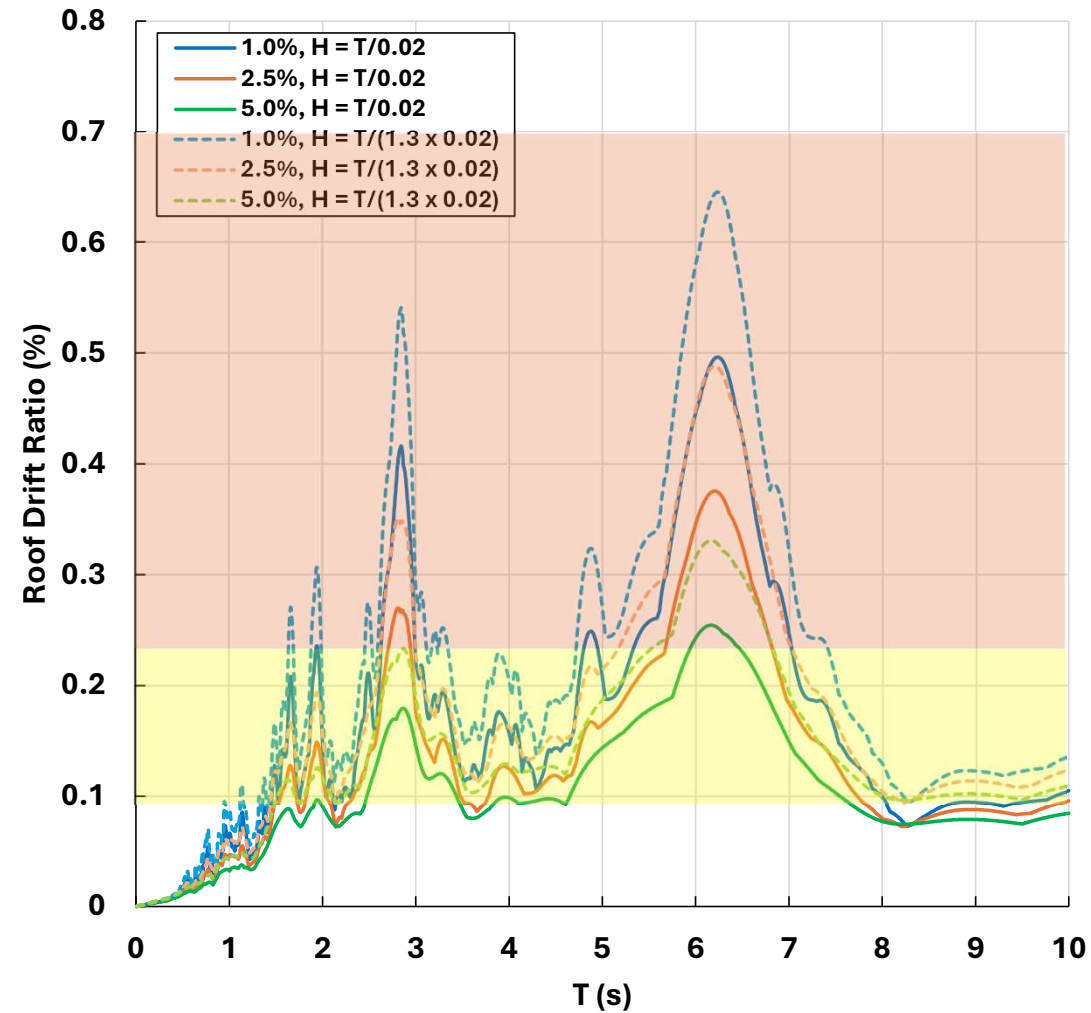
Roof Drift Ratio

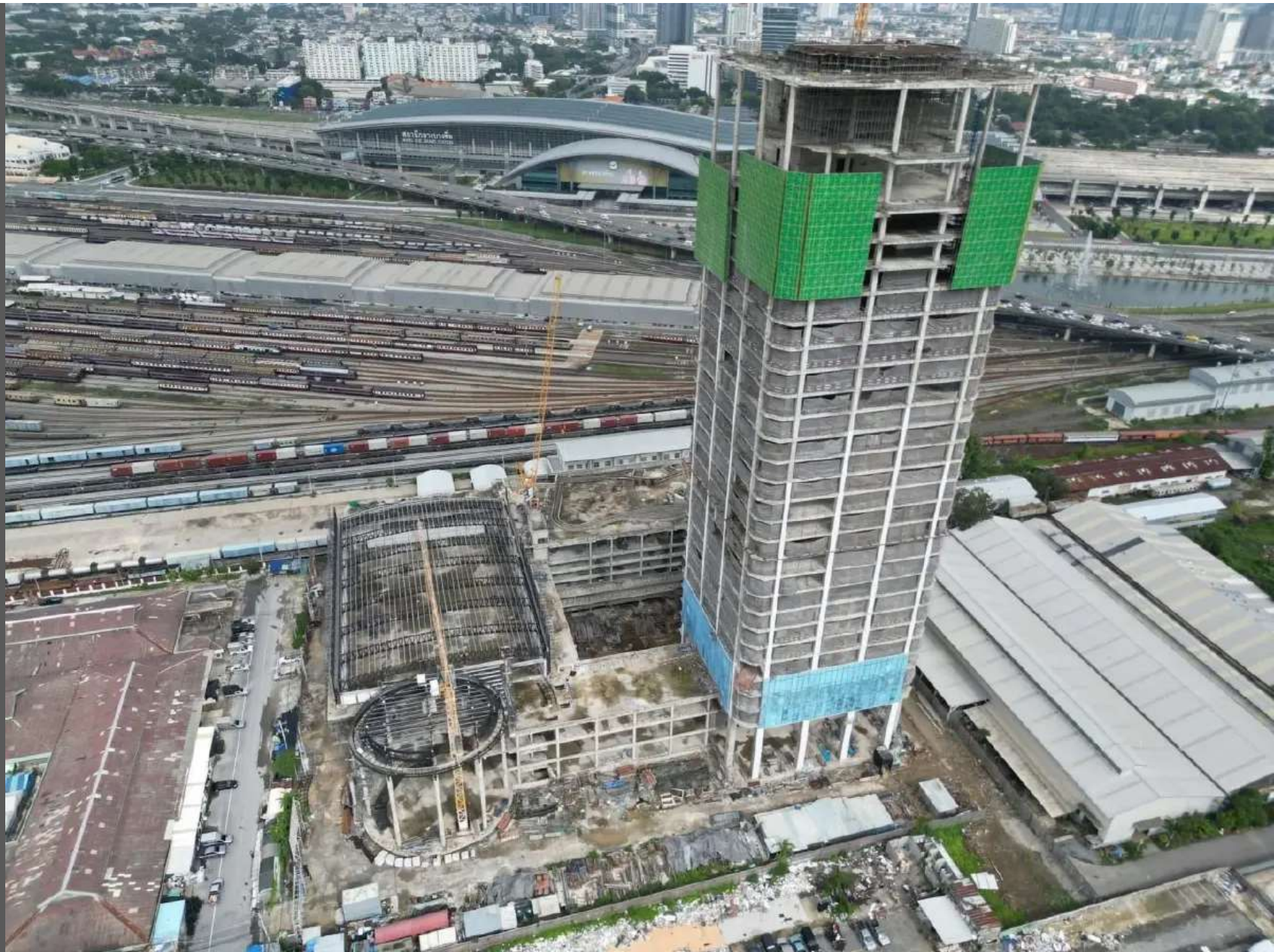
Station: Department of Public Works and Town & Country Planning
(PWSA)

PWSA - NE



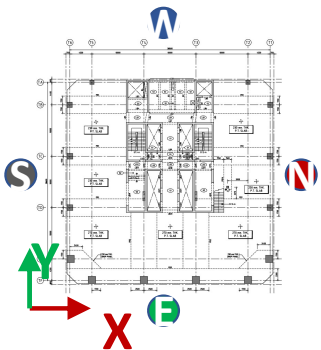
PWSA - NN





Building model

Model	Linear Static Base Reaction (Ton)	Modal		
		Period (s)		
		Mode 1	Mode 2	Mode 3
Linear-elastic	53725.51	2.883 UX	2.272 UY	2.050 RZ



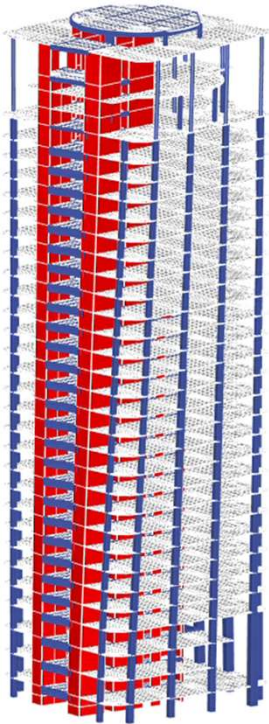
KMUTT's Model



Mode 1 X



Mode 2 Y

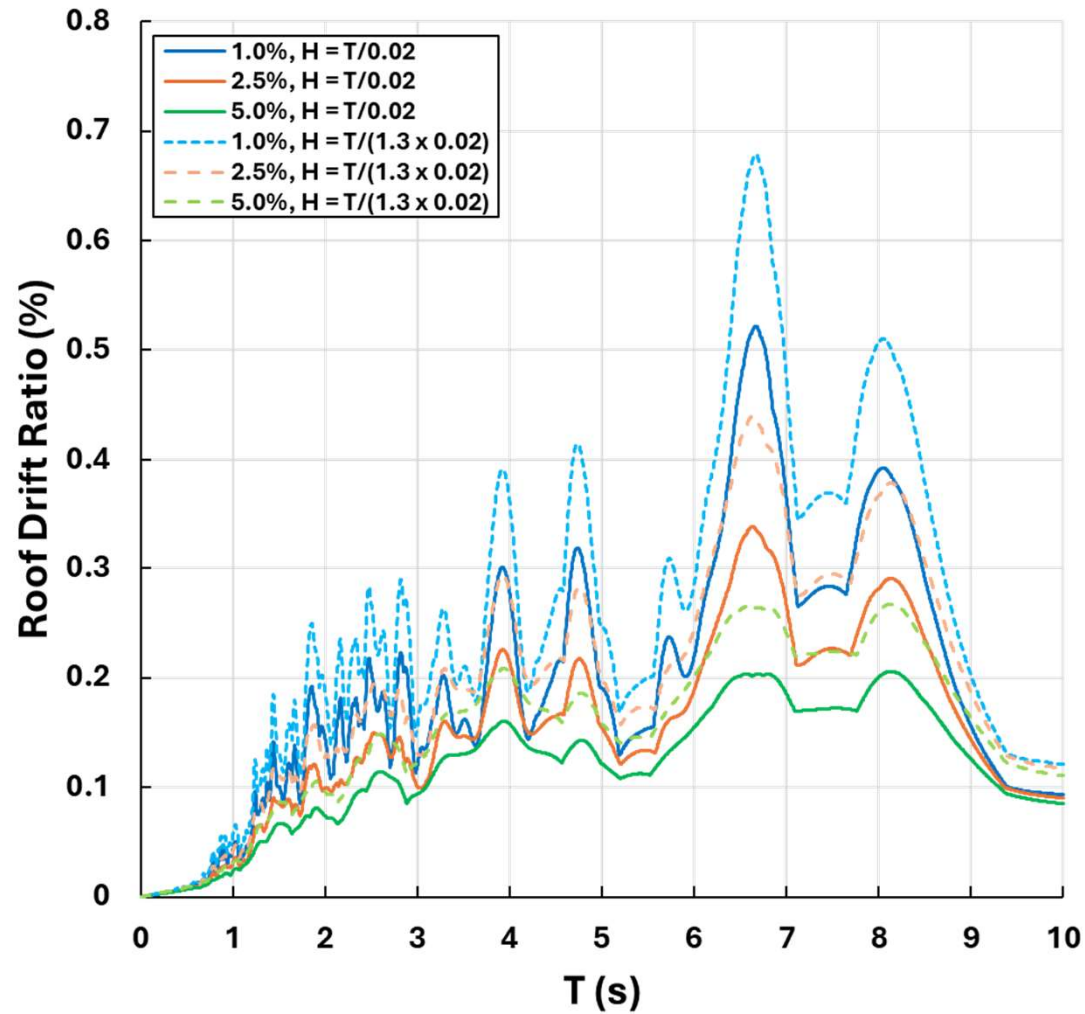


Mode 3 Z

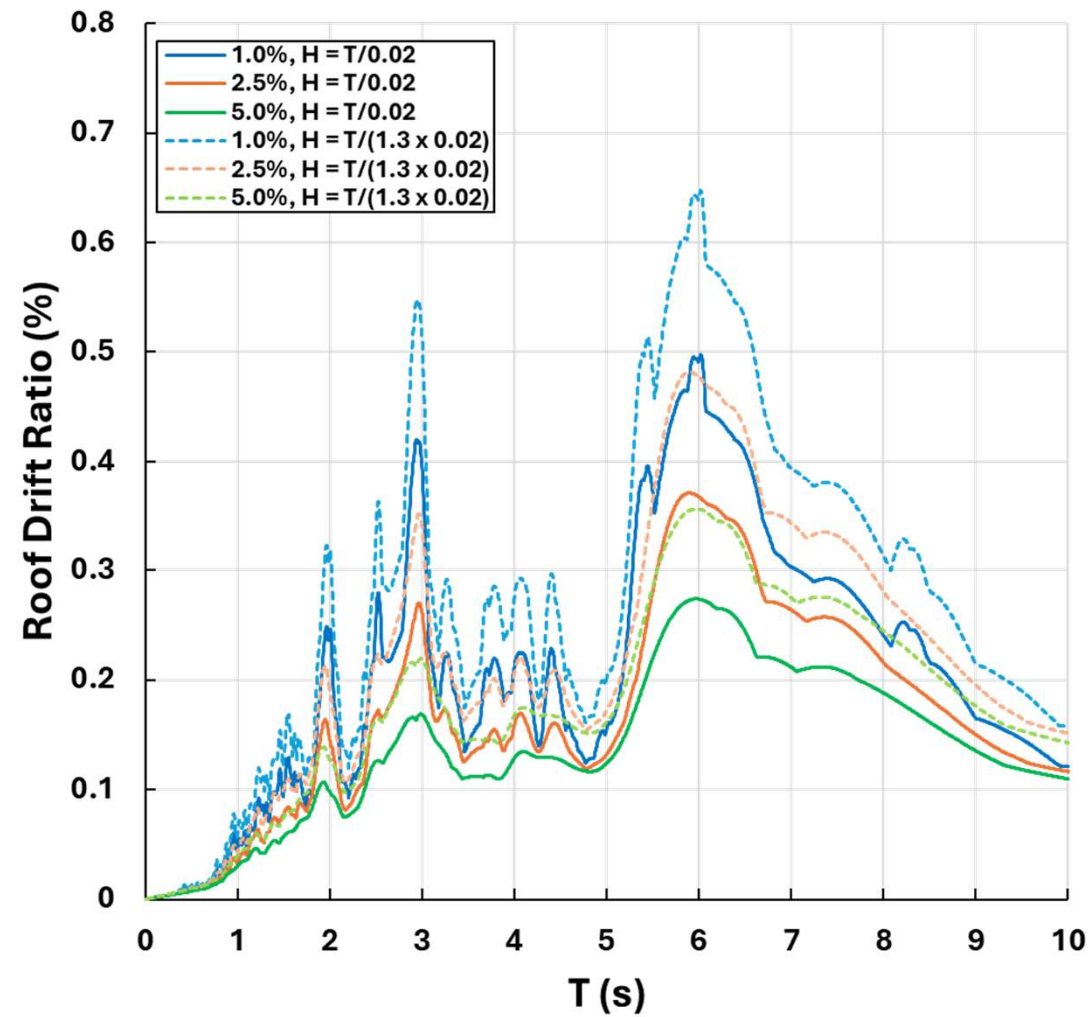
Roof Drift Ratio

Station: Queen Sirikit National Convention Center (BKSI)

BKSI - NE

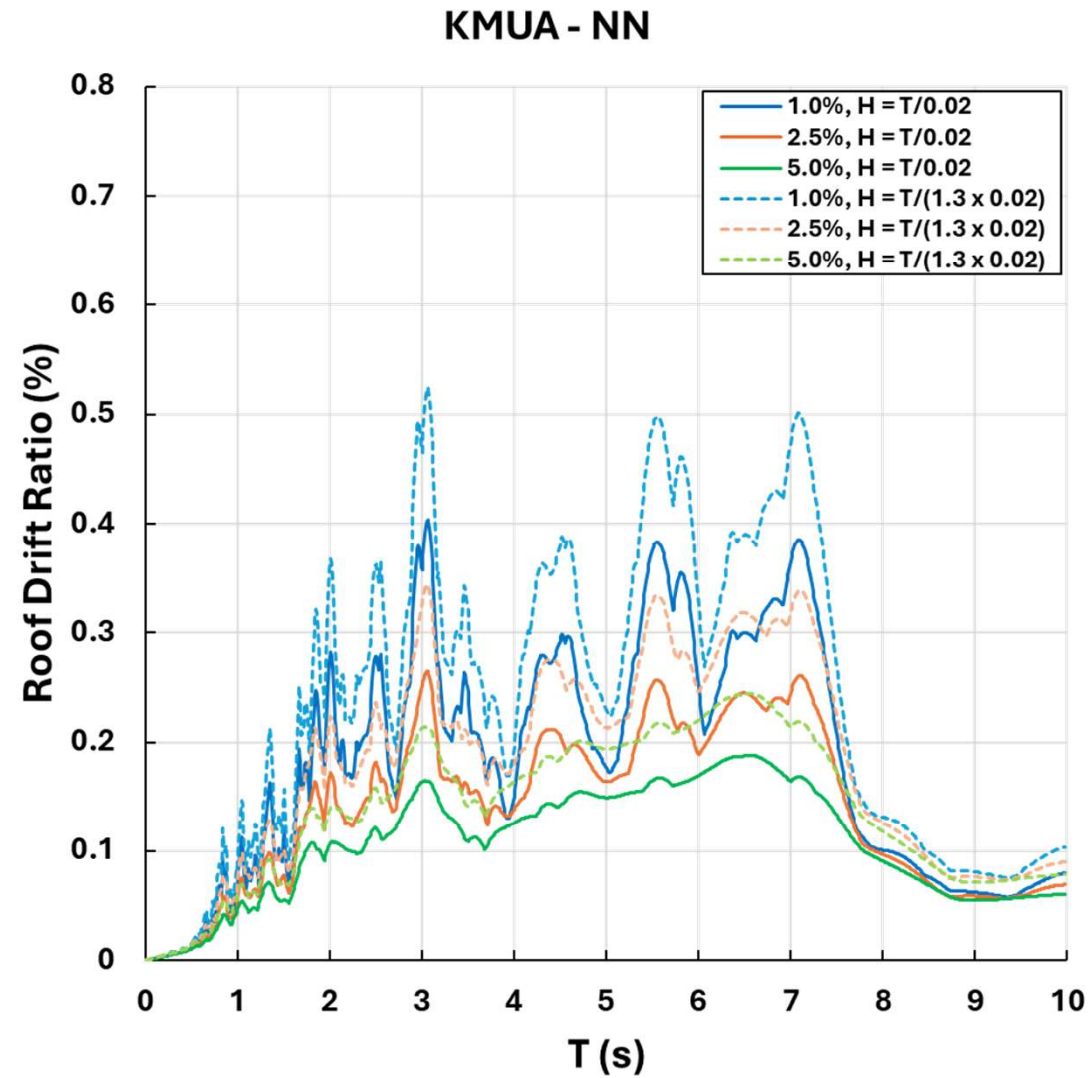
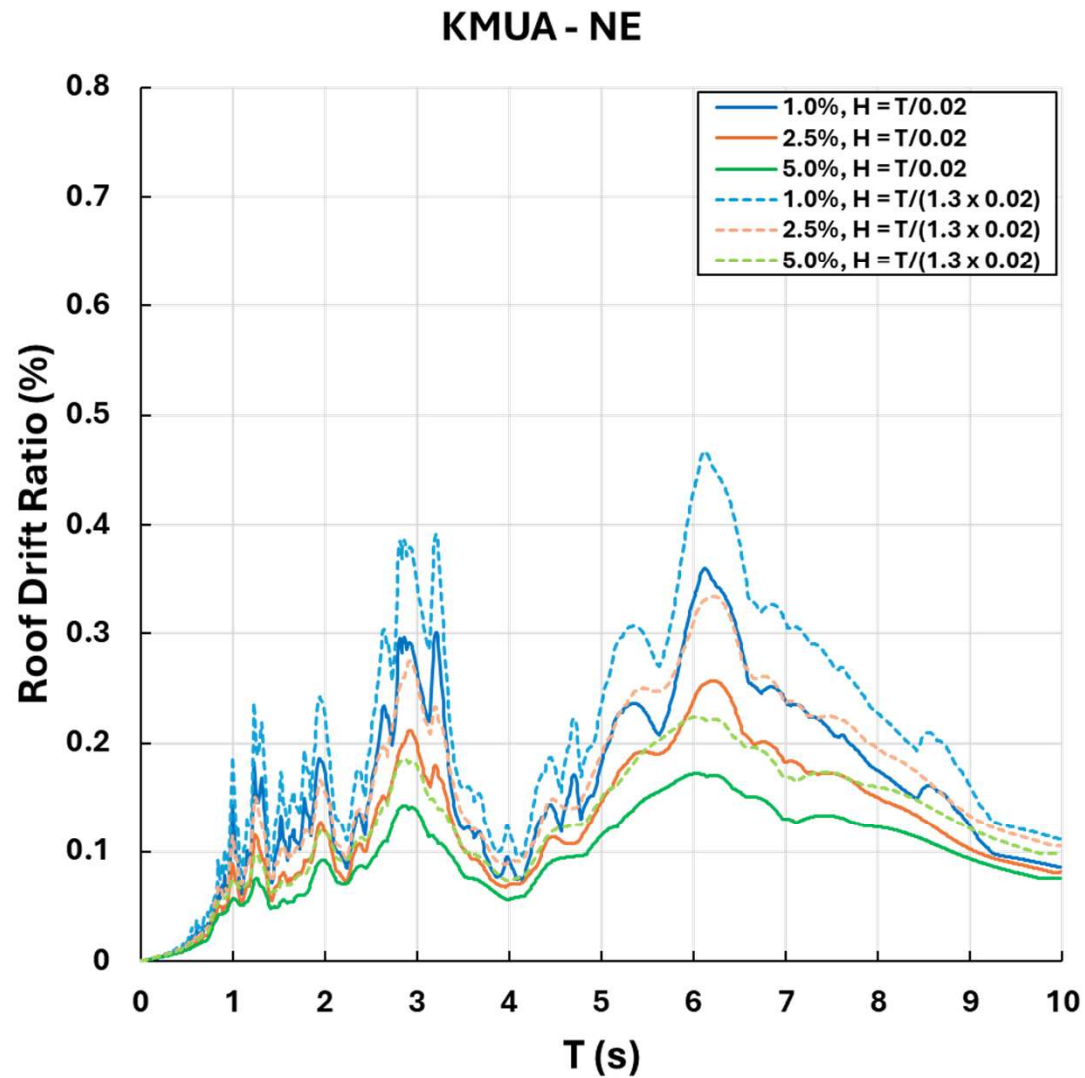


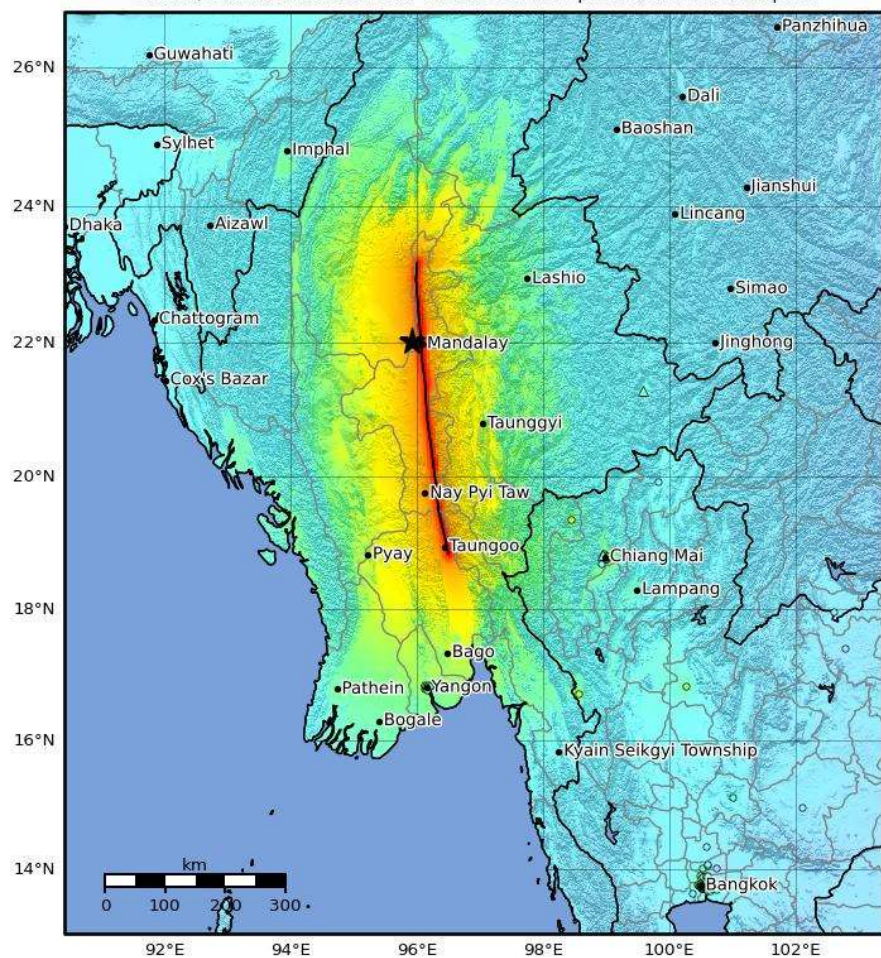
BKSI - NN



Roof Drift Ratio

Station: King Mongkut's University of Technology Thonburi (KMUA)





M 7.7 - 2025 Mandalay, Burma (Myanmar) Earthquake

2025-03-28 06:20:54 (UTC)

22.013°N 95.922°E

10.0 km depth

SHAKING	Not felt	Weak	Light	Moderate	Strong	Very strong	Severe	Violent	Extreme
DAMAGE	None	None	None	Very light	Light	Moderate	Moderate/heavy	Heavy	Very heavy
PGA(%g)	<0.0464	0.297	2.76	6.2	11.5	21.5	40.1	74.7	>139
PGV(cm/s)	<0.0215	0.135	1.41	4.65	9.64	20	41.4	85.8	>178
INTENSITY	I	II-III	IV	V	VI	VII	VIII	IX	X+

Scale based on Worden et al. (2012)

Version 8: Processed 2025-03-28T18:12:21Z

△ Seismic Instrument ○ Reported Intensity

★ Epicenter □ Rupture

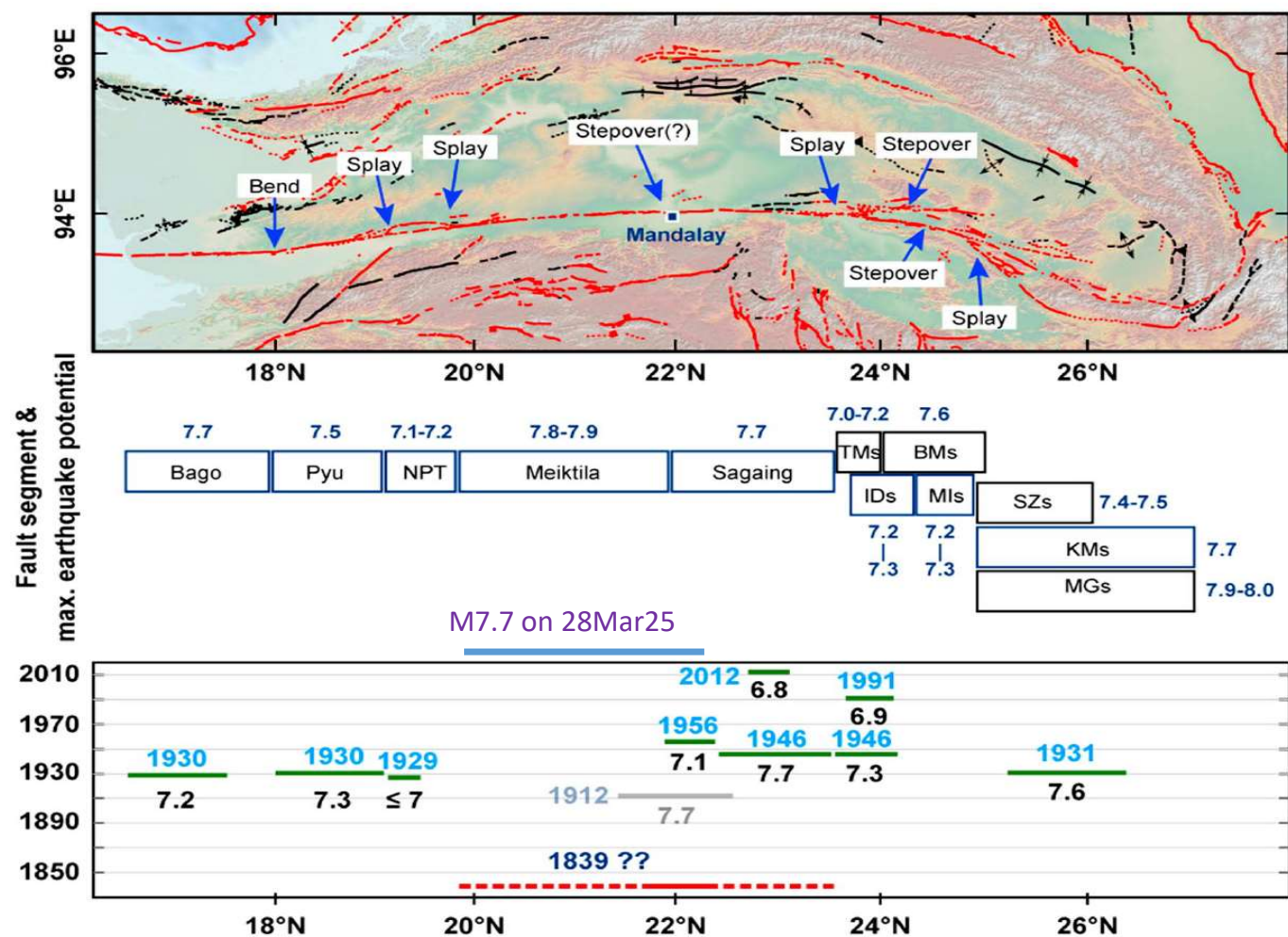
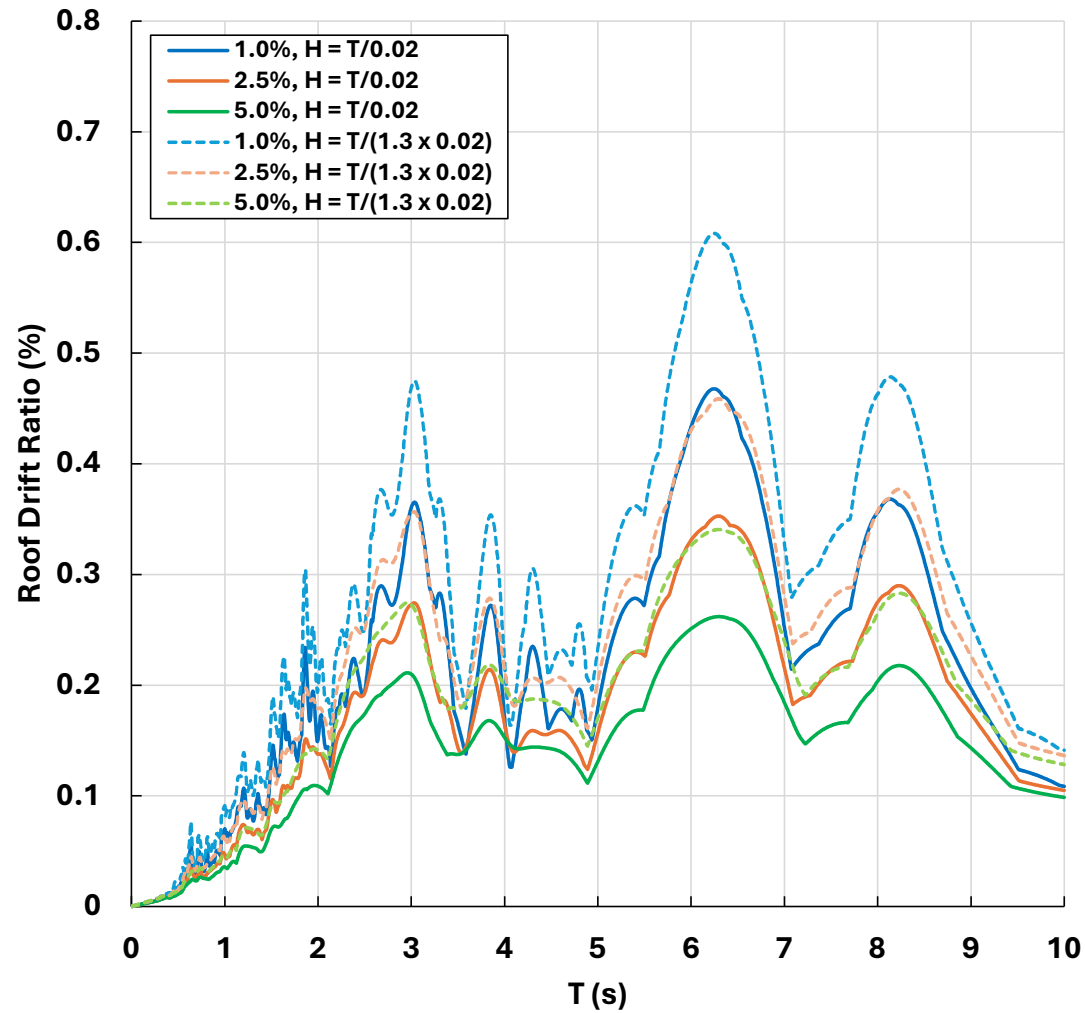


Figure 22. Map and chart of potential maximum earthquake magnitudes (M_w) associated with named segments of the Sagaing fault. Blue arrows show the boundaries of fault segments. Ruptures of the past century appear in the lower box. Green lines are the proposed rupture patches along the Sagaing fault since the beginning of the twentieth century; gray line shows the proposed rupture section along the Kyaukkyan fault, parallel to the Sagaing fault. Red line marks the possible rupture patch of the 1839 earthquake, inferred from historical data. BMs = Ban Mauk segment; TMs = Tawma segment; IDs = In Daw segment; MIIs = Mawlu segment; SZs = Shaduzup segment; KMs = Kamaing segment; MGs = Mogang segment.

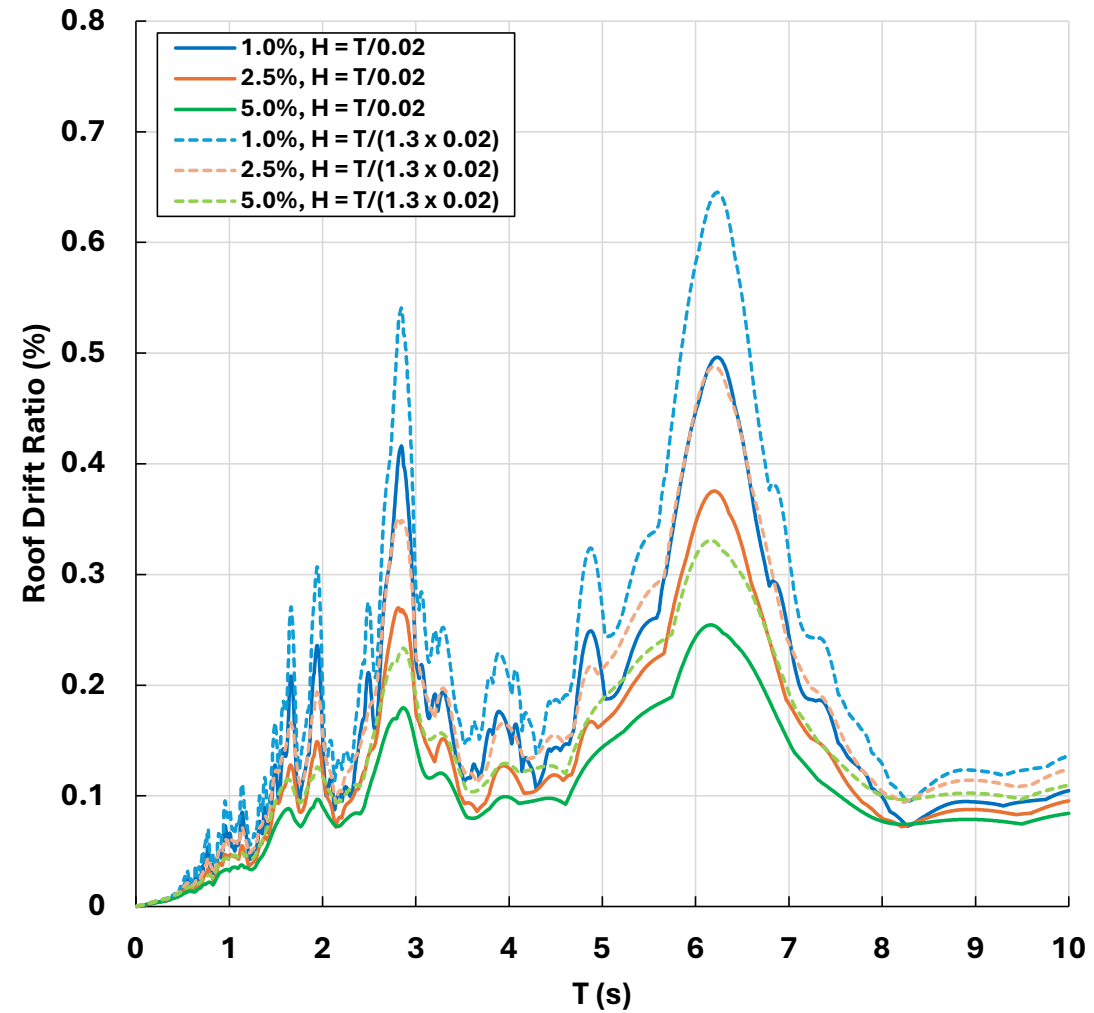
Roof Drift Ratio

Station: Department of Public Works and Town & Country Planning
(PWSA)

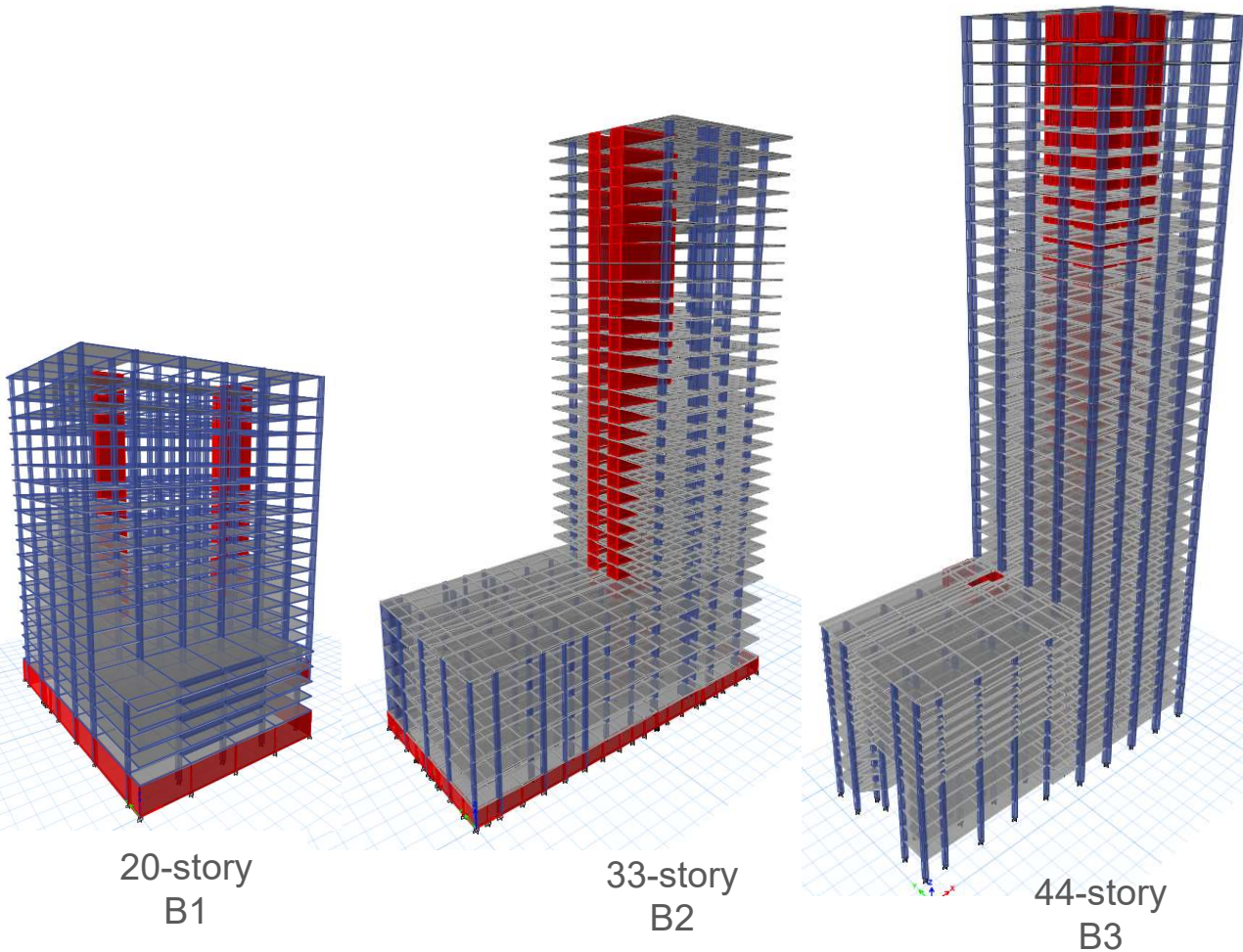
PWSA - NE



PWSA - NN



Typical Tall Buildings in Thailand

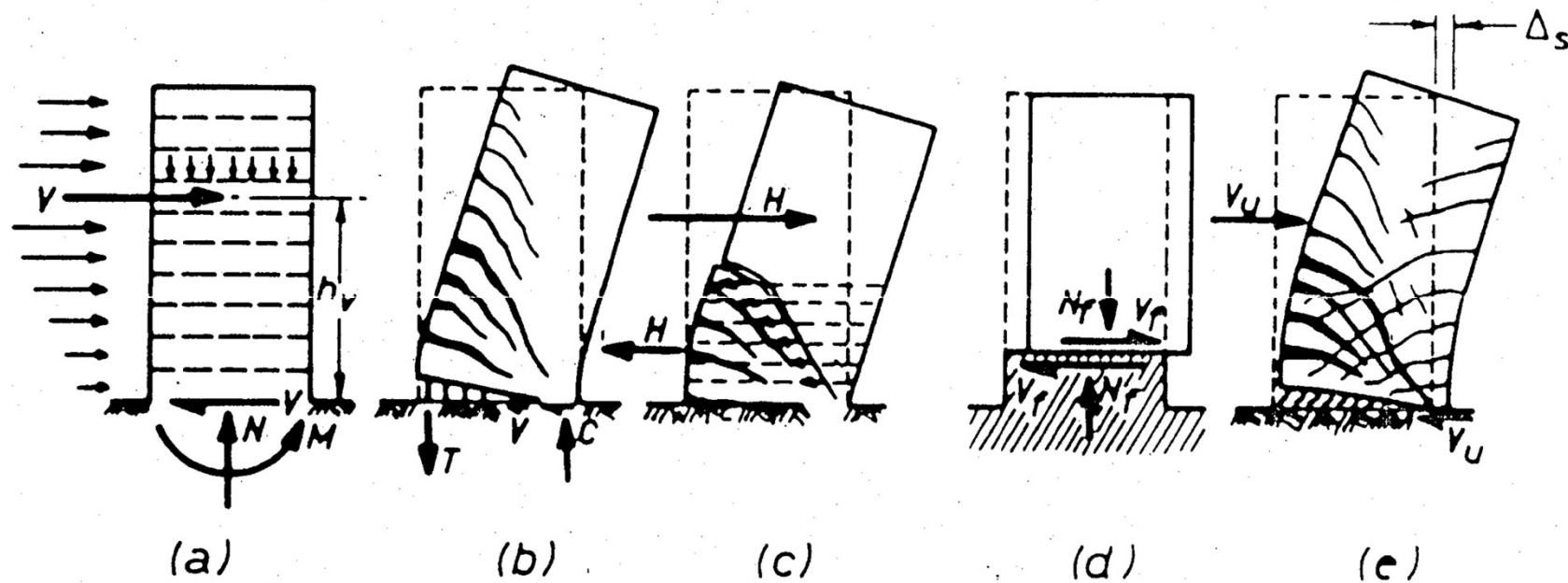


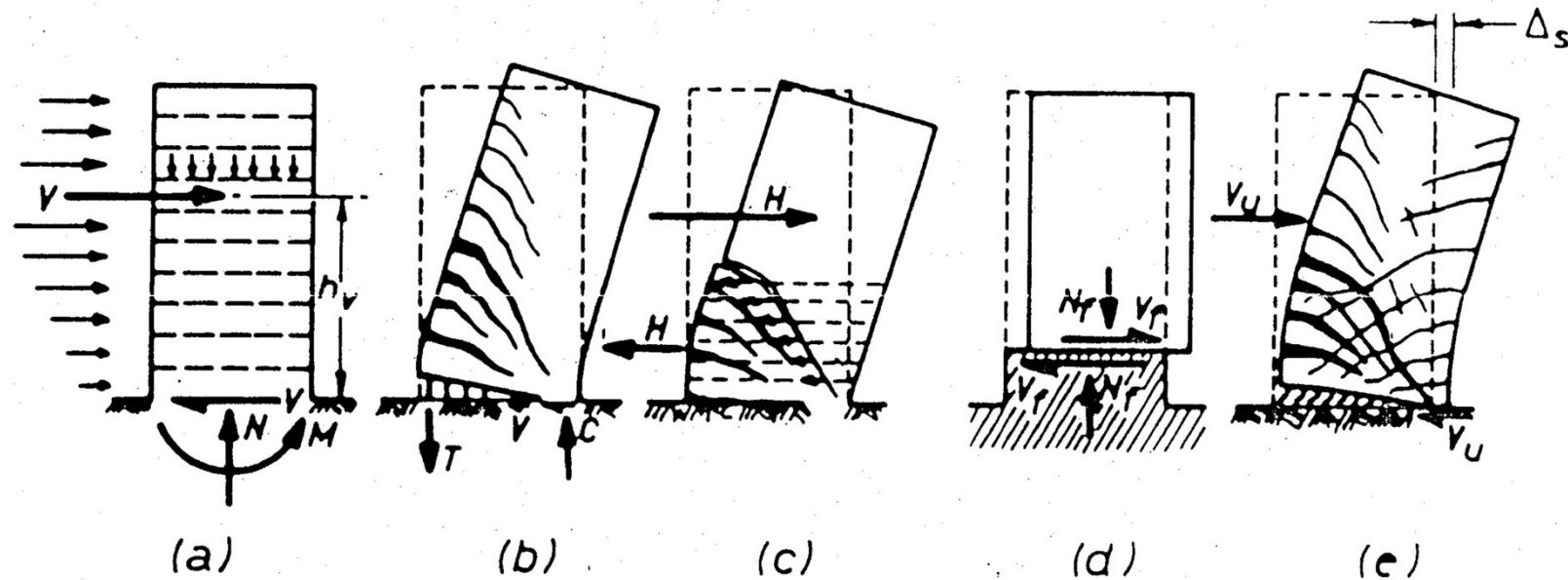
- ❑ *RC slab-column frames carry gravity loads*
- ❑ *RC walls & cores resist lateral loads*
- ❑ *Masonry infill walls extensively used*
- ❑ *Possess irregular features commonly found in typical tall buildings, e.g. podium and non-symmetrical arrangement of RC walls, etc.*

Ductile Structural Walls

*A basic requirement for walls to be ductile: a **flexural plastic hinge zone** should be formed at the **base of the wall**, and **brittle failure mechanisms** should not be permitted to occur.*

*This is achieved by establishing a desirable hierarchy in the failure mechanics using **capacity design procedures** and by appropriate detailing of the potential plastic hinge region.*

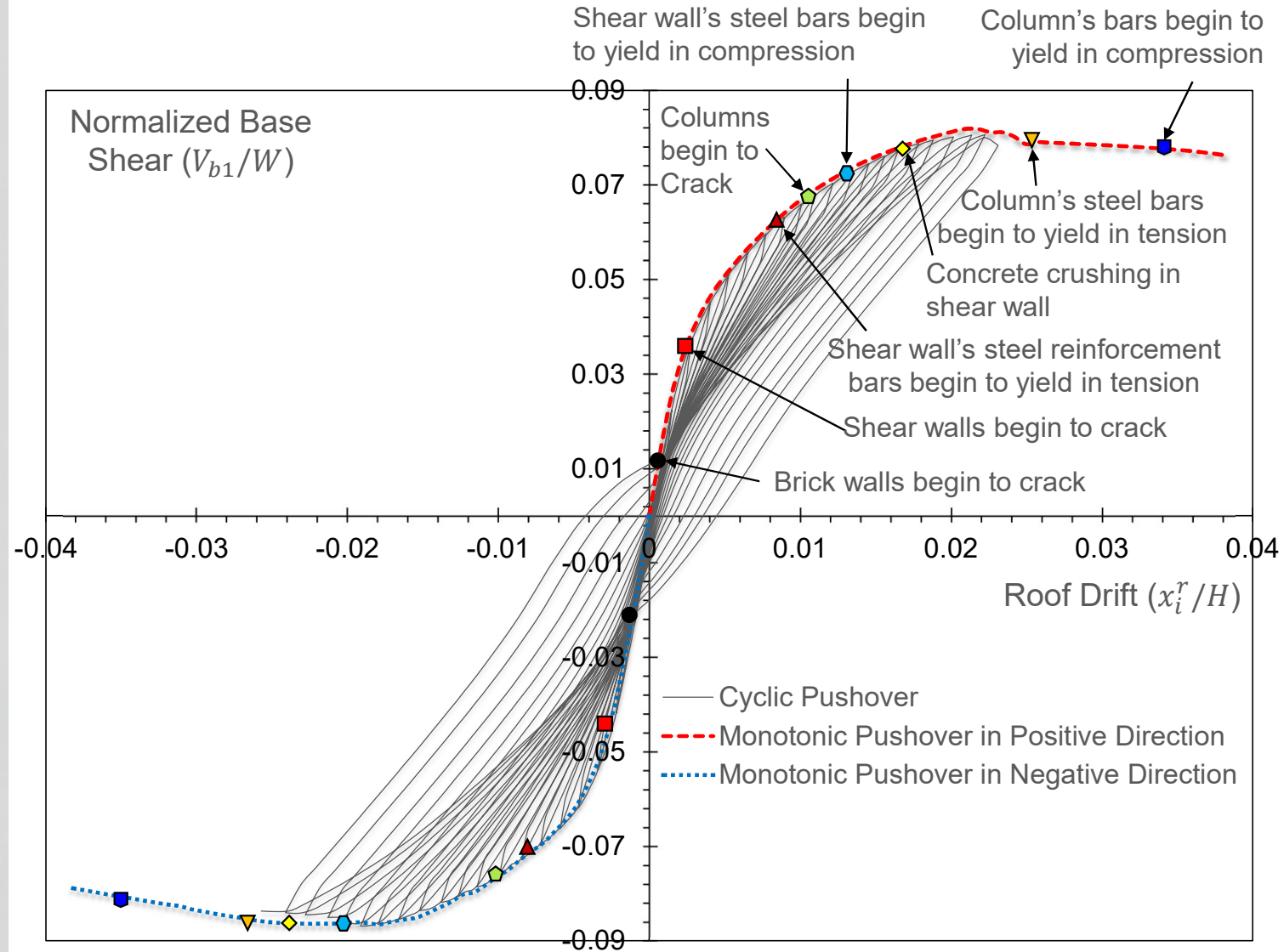




Brittle Failure modes in RC walls to be prevented are:

- Diagonal tension failure (c) caused by shear,
- Diagonal compression failure caused by shear,
- Instability of thin walled sections,
- Instability of the principal compression reinforcement,
- Sliding shear along construction joints (d),
- Shear or bond failure along lapped splices or anchorages (b).

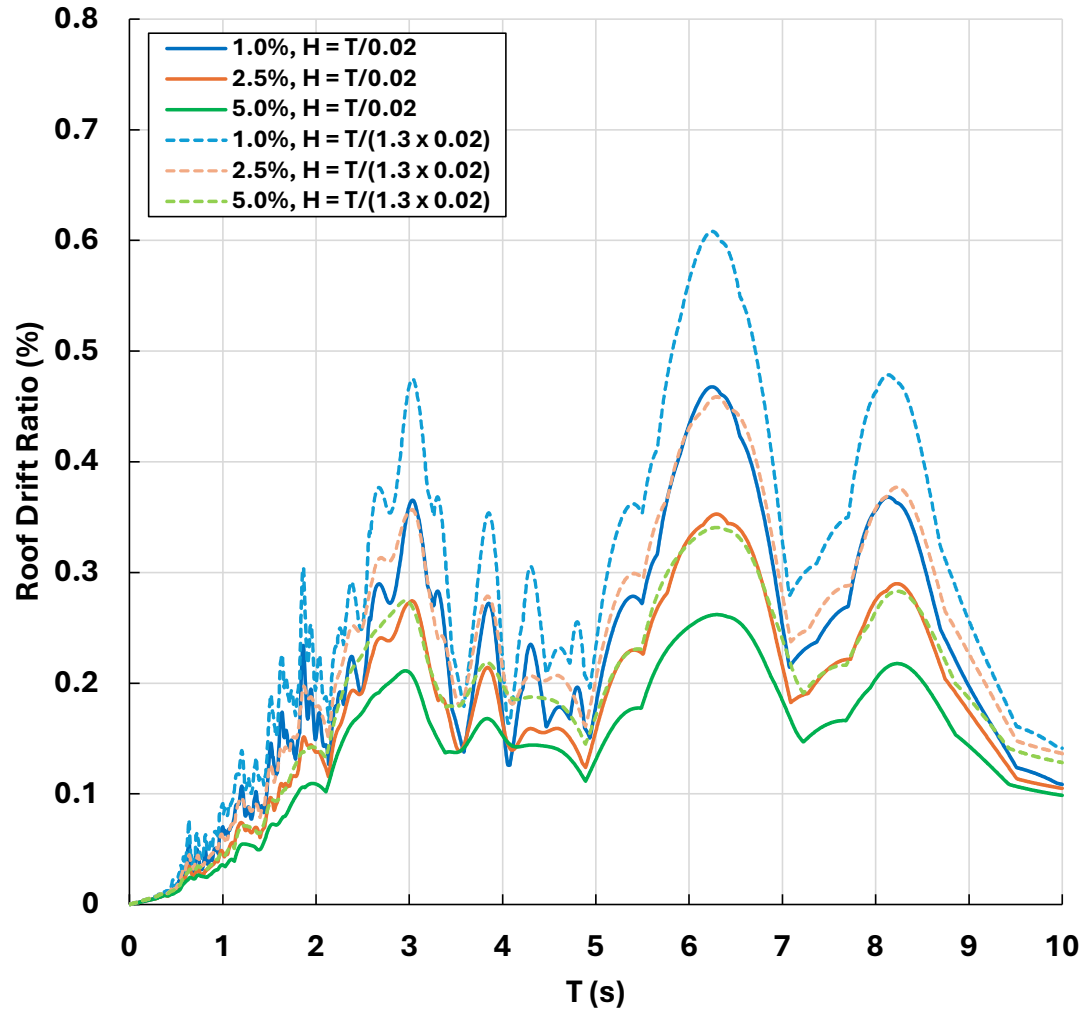
The Cyclic Behavior of A 44-Story Building with Ductile Structural Walls



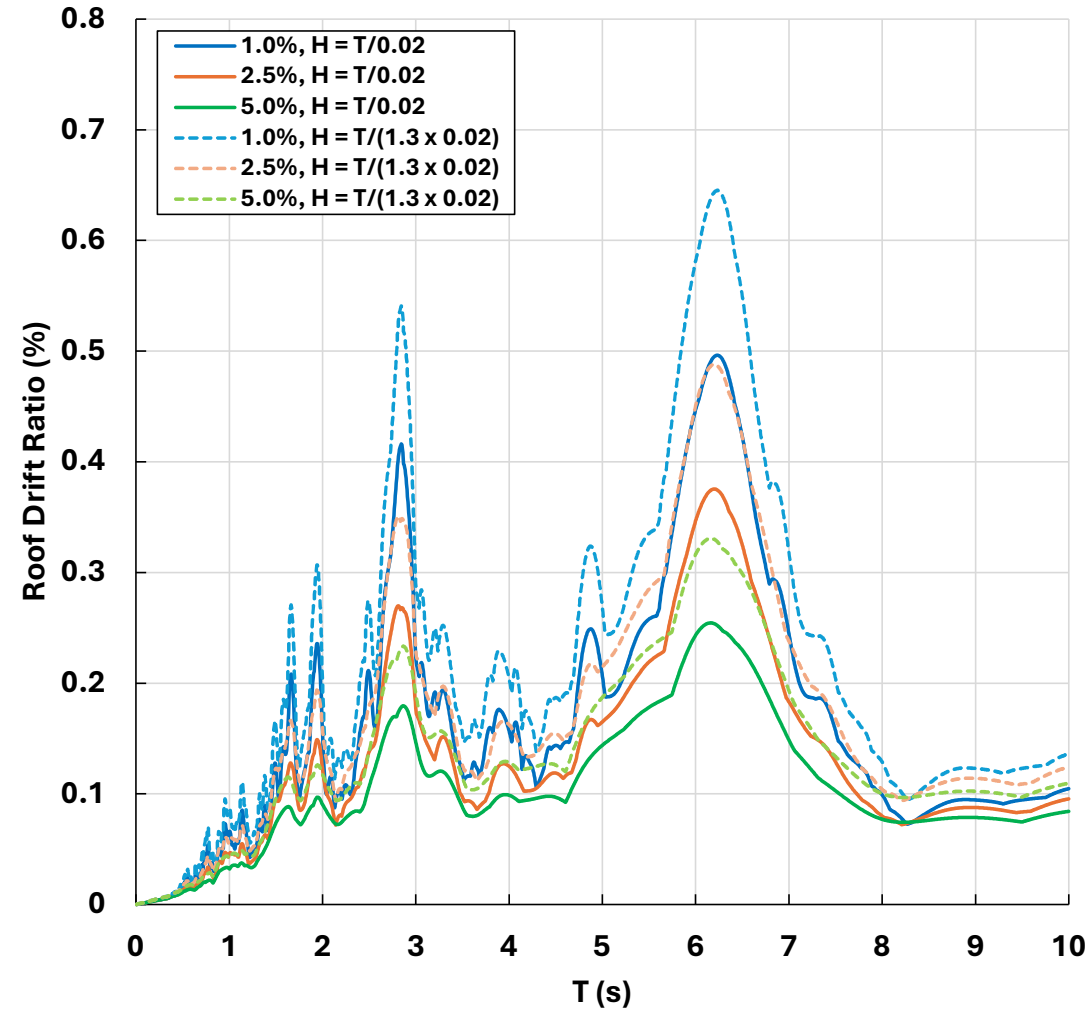
Roof Drift Ratio

Station: Department of Public Works and Town & Country Planning
(PWSA)

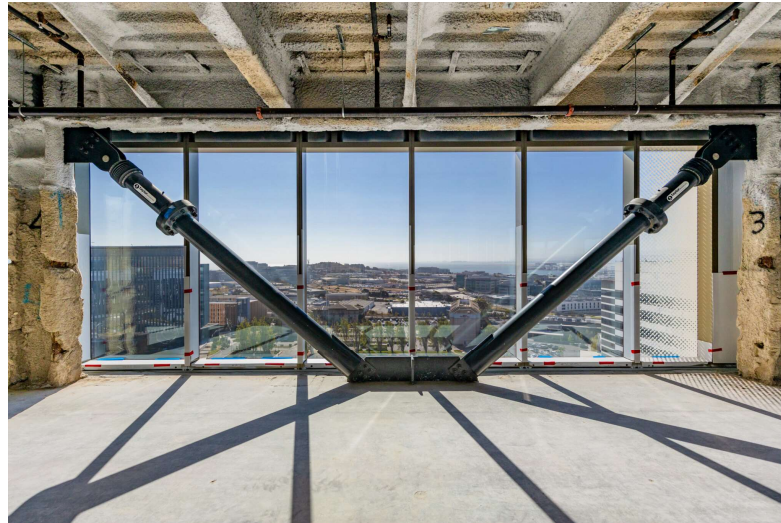
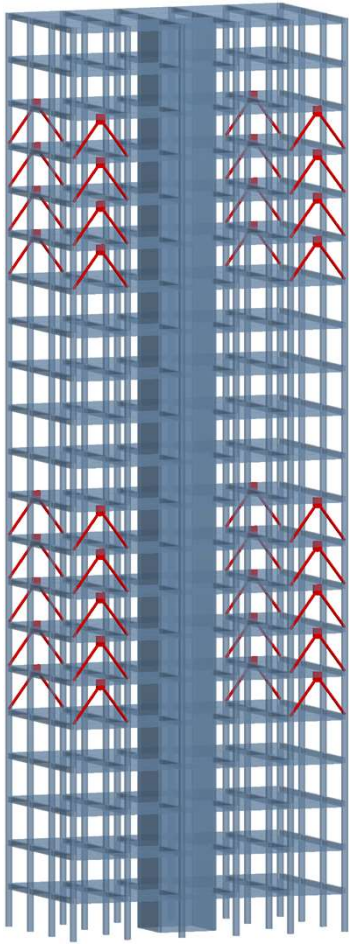
PWSA - NE



PWSA - NN



Fluid Viscous Damper (FVD) for building vibration control



https://www.linkedin.com/posts/ncsea_fluid-viscous-dampers-effectively-dissipate-activity-7146470330536968192-SYJS/



<https://doi.org/10.3390/buildings15020260>

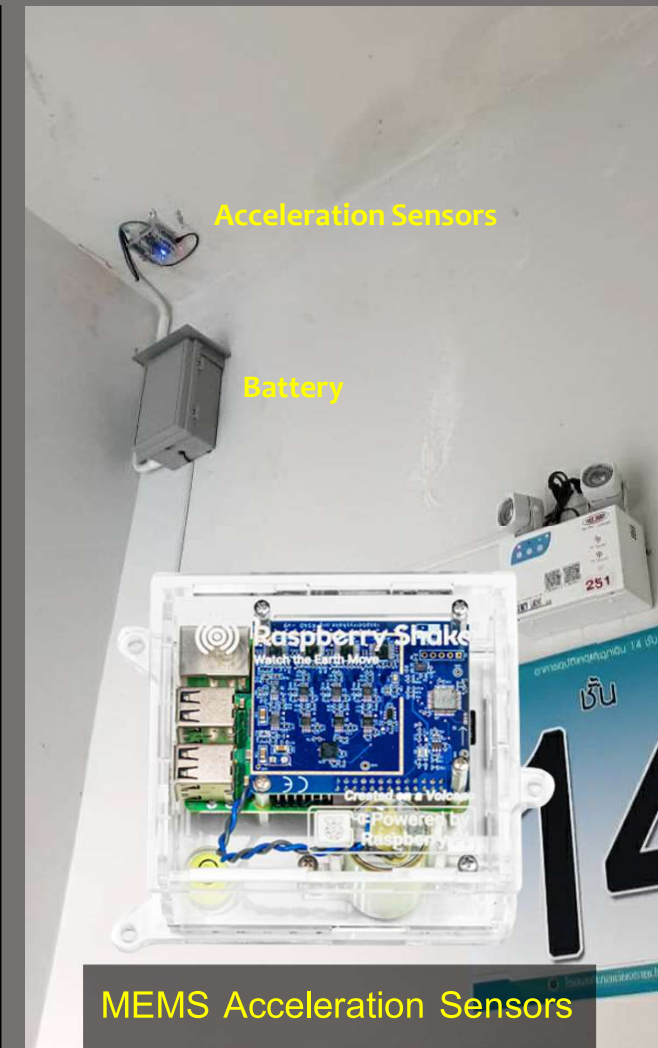
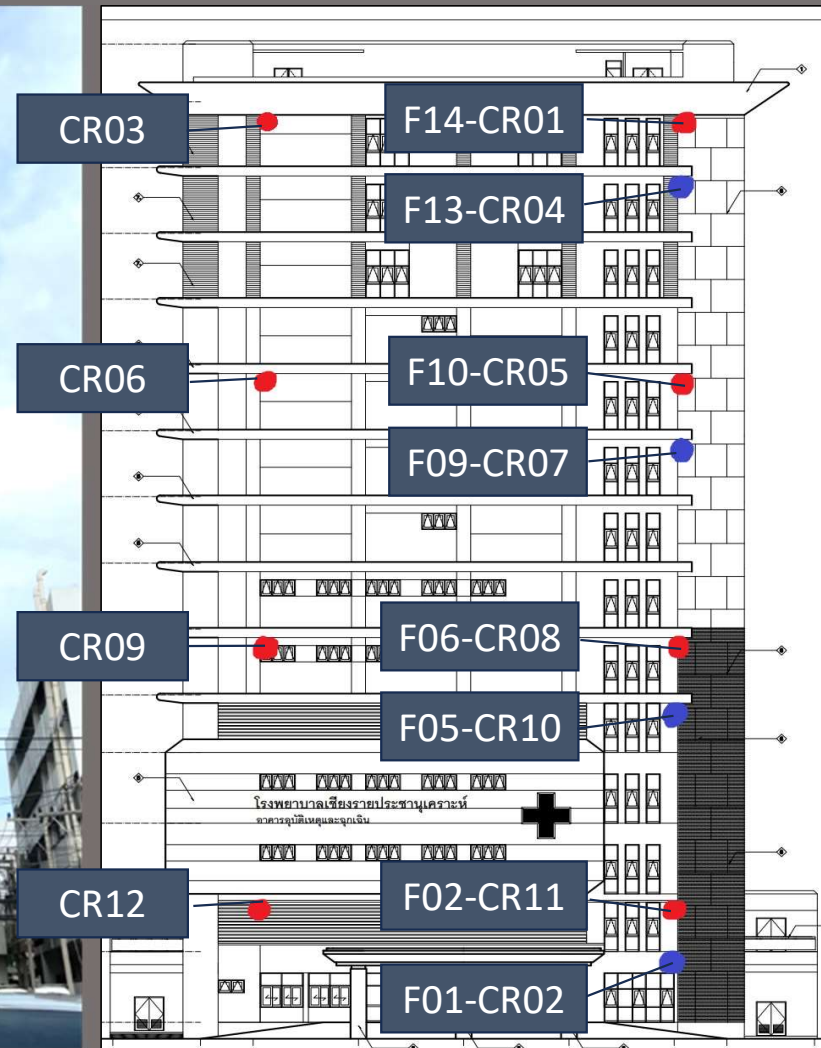


<https://ana.ir/en/news/1973/iran-among-nine-countries-holding-viscous-fluid-damper-technology>



<https://ryanrakhmats.wordpress.com/2018/04/22/fluid-viscous-damper-fvd/>

Structural Health Monitoring of A Hospital Building in Chiang Rai

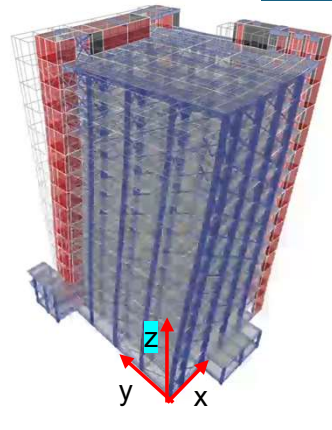


Testing the SHM system & Identify Building Dynamic Properties by Human Excitation

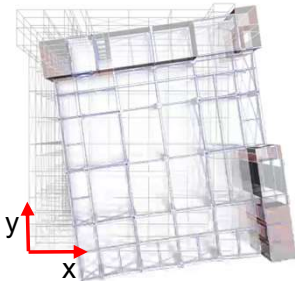


3D Mode Shape (Updated FEM Model)

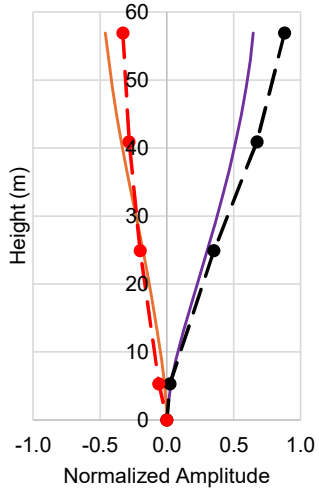
1X



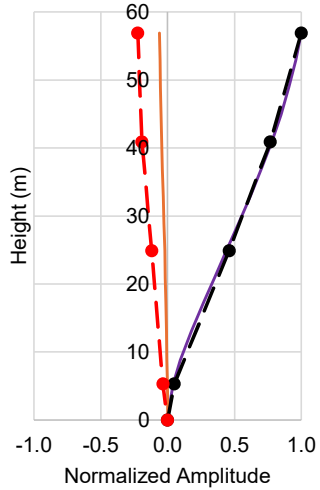
$f_{FEM} = 0.868 \text{ Hz}$
 $f_{HumanEx} = 0.933 \text{ Hz}$



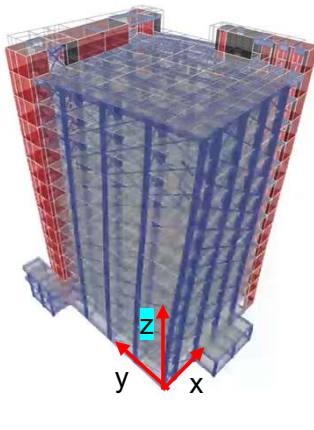
Sensor: B



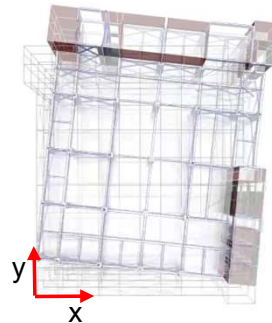
A



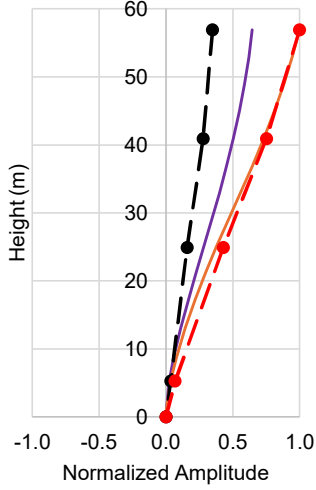
1Y



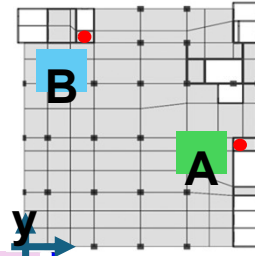
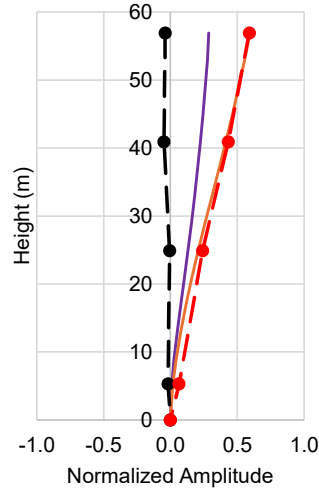
$f_{FEM} = 0.933 \text{ Hz}$
 $f_{HumanEx} = 0.946 \text{ Hz}$



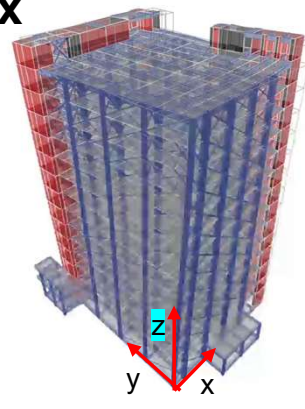
B



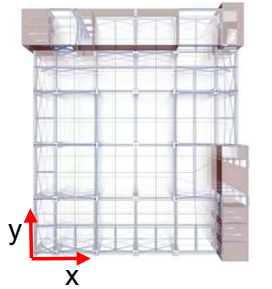
A



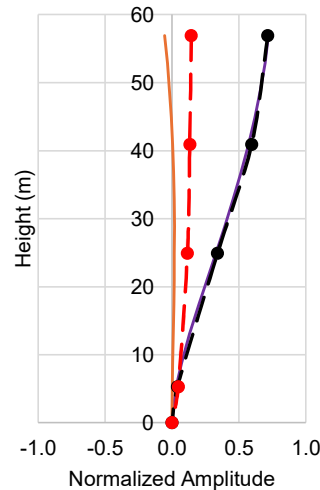
1R



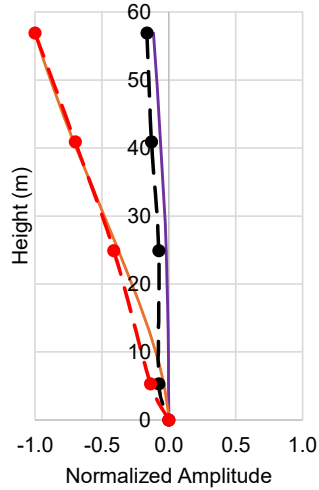
$f_{FEM} = 1.386 \text{ Hz}$
 $f_{HumanEx} = 1.332 \text{ Hz}$



B



A

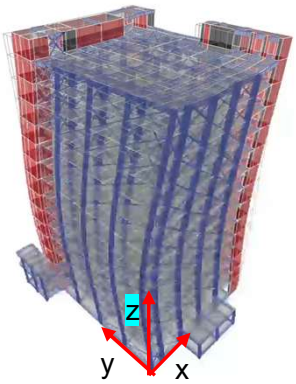


3D Mode Shape (Updated FEM Model)

2X

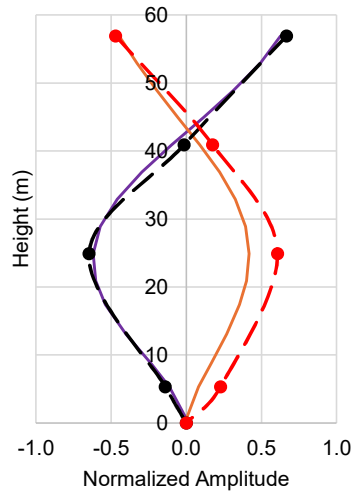
$$f_{FEM} = 2.877 \text{ Hz}$$

$$f_{HumanEx} = 2.863 \text{ Hz}$$

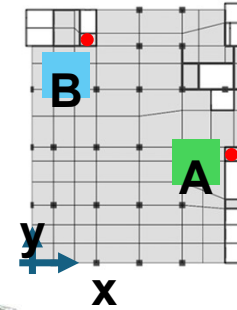
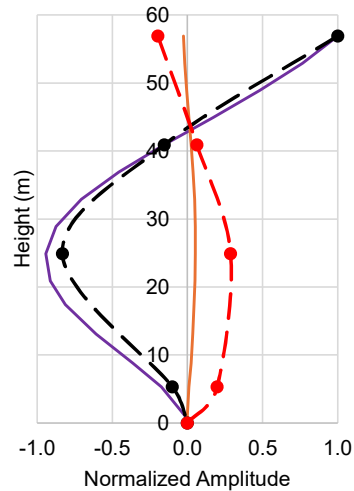


Sensor:

B



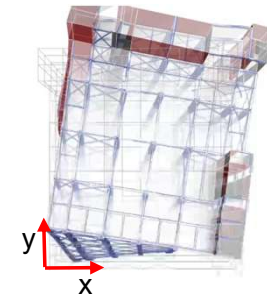
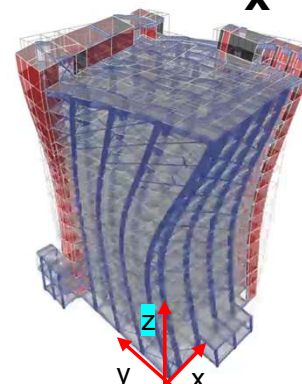
A



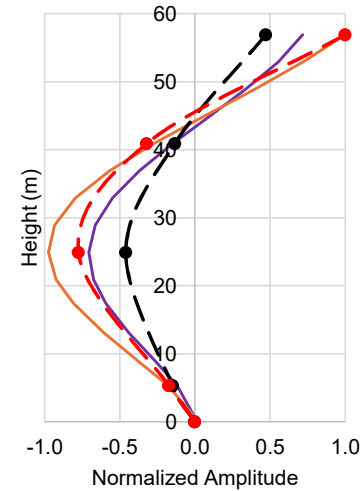
2Y

$$f_{FEM} = 3.207 \text{ Hz}$$

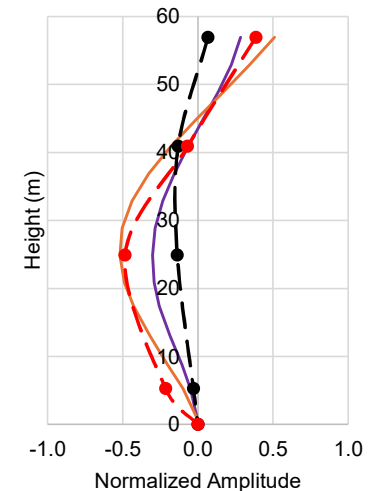
$$f_{HumanEx} = 3.084 \text{ Hz}$$



B



A



Visualization of Demand-to-Capacity Ratio of Structural Members in 3D Building Model



Column PMM D/C Ratio

